

Vorlesung Algorithmische Geometrie

Well-Separated Pair Decomposition

LEHRSTUHL FÜR ALGORITHMIK I · INSTITUT FÜR THEORETISCHE INFORMATIK · FAKULTÄT FÜR INFORMATIK

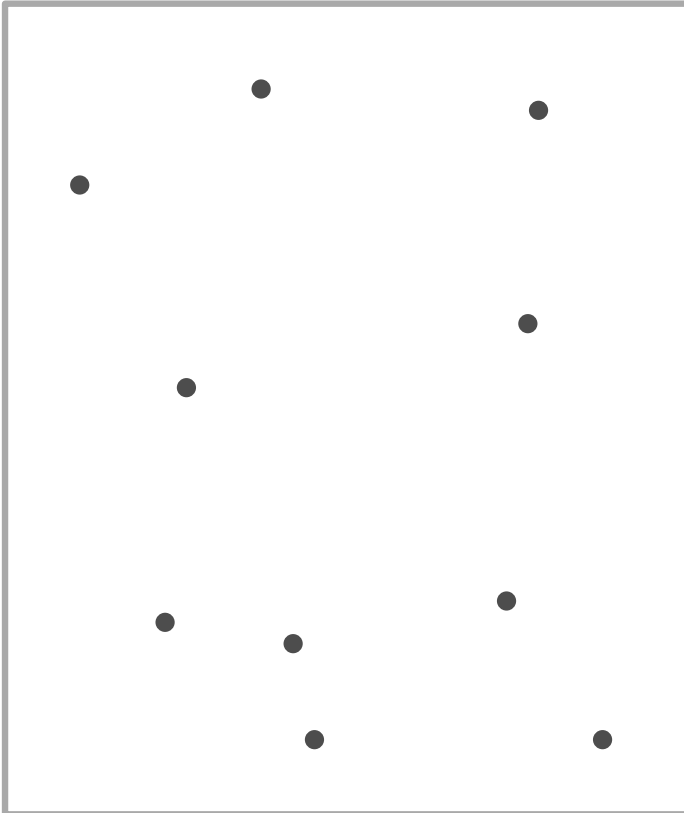
Martin Nöllenburg
28.06.2011



Motivation: Spanner

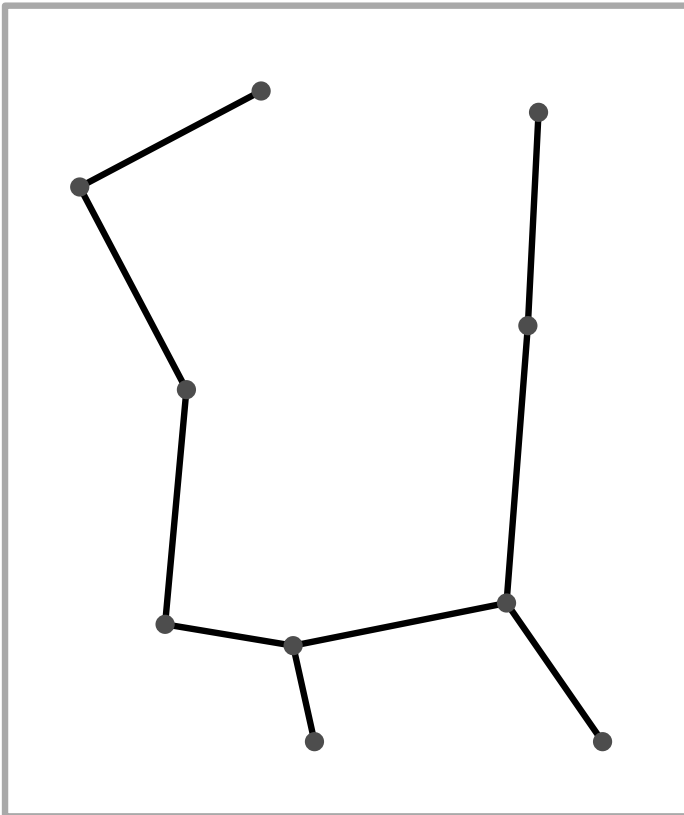
Aufgabe:

Eine Menge von Städten soll über ein neues Straßennetz miteinander verbunden werden.



Aufgabe:

Eine Menge von Städten soll über ein neues Straßennetz miteinander verbunden werden.

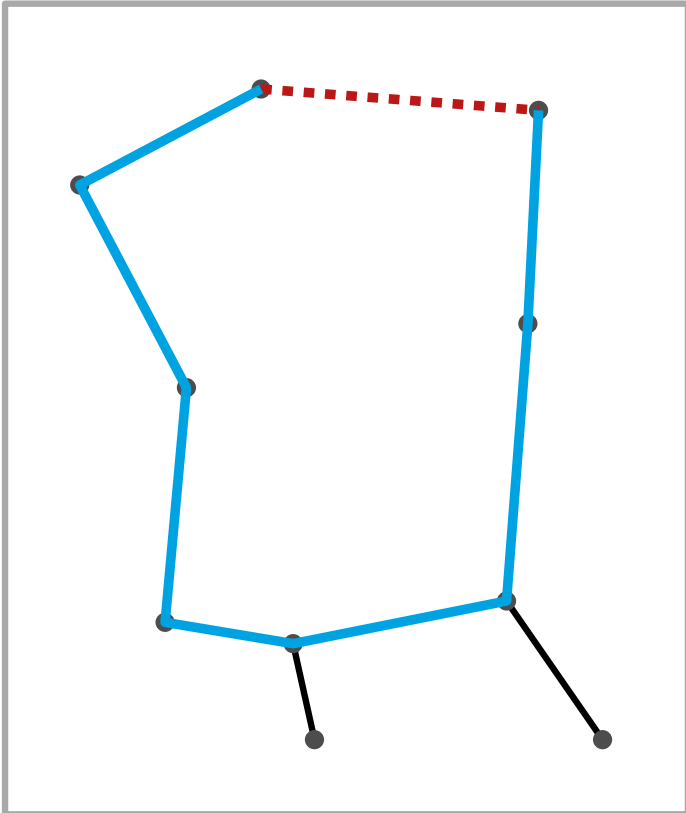


1. Idee: Euklid. min. Spannbaum

Aufgabe:

Eine Menge von Städten soll über ein neues Straßennetz miteinander verbunden werden.

Allerdings soll für kein Paar (x, y) der Weg im Straßennetz viel länger als die Distanz $\|xy\|$ sein.

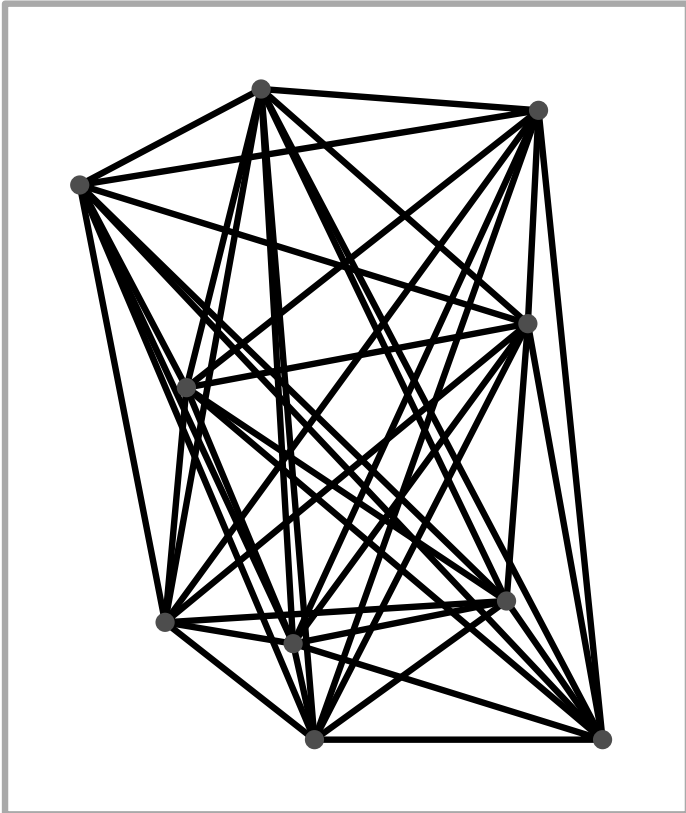


1. Idee: Euklid. min. Spannbaum

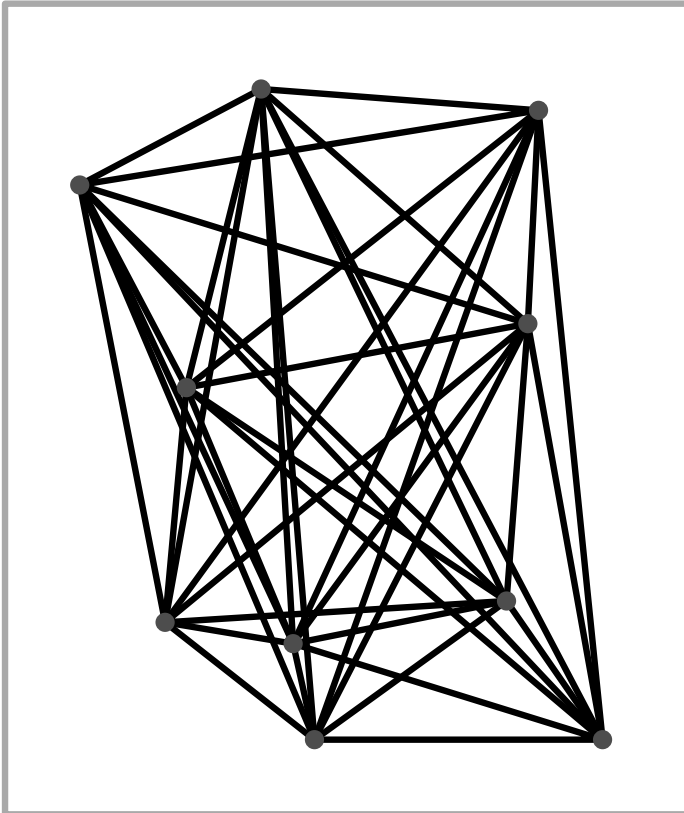
Aufgabe:

Eine Menge von Städten soll über ein neues Straßennetz miteinander verbunden werden.

Allerdings soll für kein Paar (x, y) der Weg im Straßennetz viel länger als die Distanz $\|xy\|$ sein.



1. Idee: Euklid. min. Spannbaum
2. Idee: vollständiger Graph



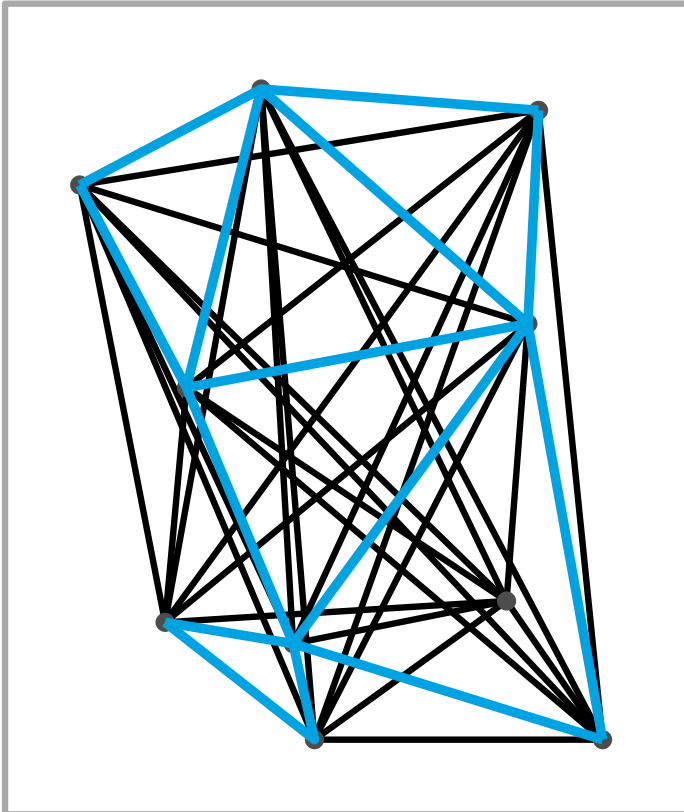
Aufgabe:

Eine Menge von Städten soll über ein neues Straßennetz miteinander verbunden werden.

Allerdings soll für kein Paar (x, y) der Weg im Straßennetz viel länger als die Distanz $\|xy\|$ sein.

Die Baukosten sollen im Rahmen bleiben, also z.B. nur $O(n)$ Kanten.

1. Idee: Euklid. min. Spannbaum
2. Idee: vollständiger Graph



Aufgabe:

Eine Menge von Städten soll über ein neues Straßennetz miteinander verbunden werden.

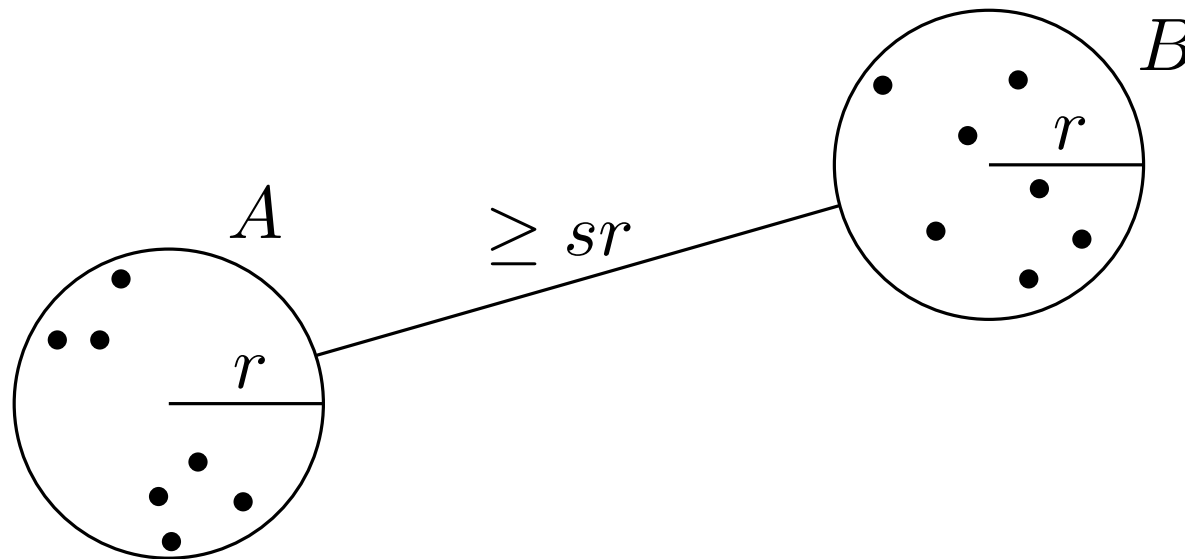
Allerdings soll für kein Paar (x, y) der Weg im Straßennetz viel länger als die Distanz $\|xy\|$ sein.

Die Baukosten sollen im Rahmen bleiben, also z.B. nur $O(n)$ Kanten.

1. Idee: Euklid. min. Spannbaum
2. Idee: vollständiger Graph
3. Idee: **sparse t -Spanner**

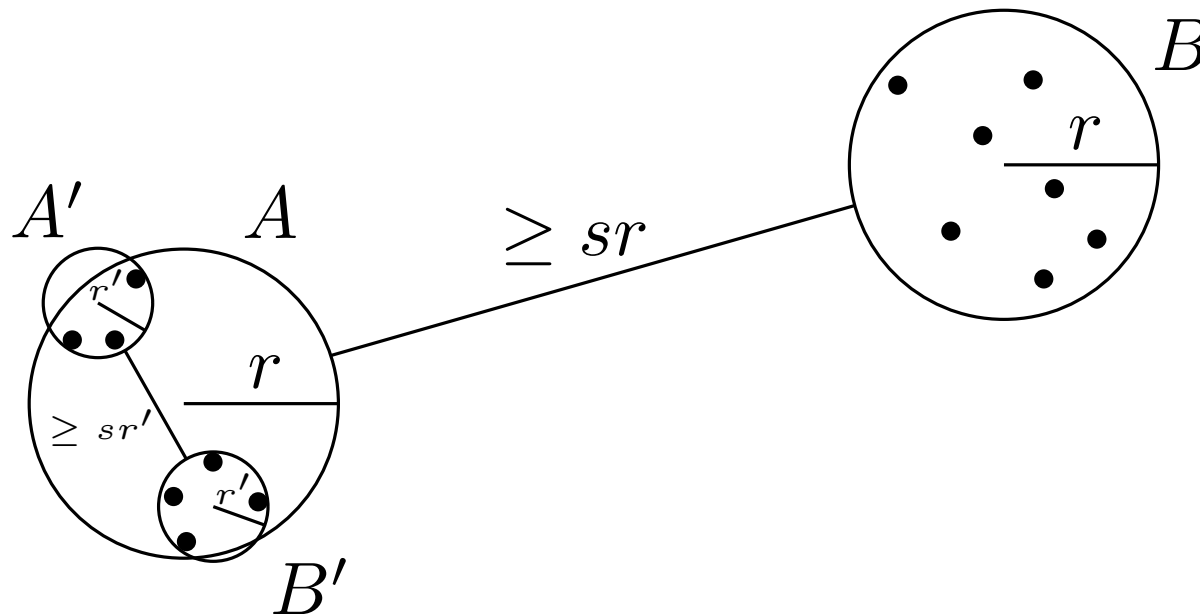
Well-Separated Pairs

Def.: Ein Paar disjunkter Punktmenge A und B im \mathbb{R}^d heißt **s -well separated** für ein $s > 0$, falls A und B jeweils von einer Kugel mit Radius r überdeckt werden und der Abstand der beiden Kugeln mindestens sr ist.



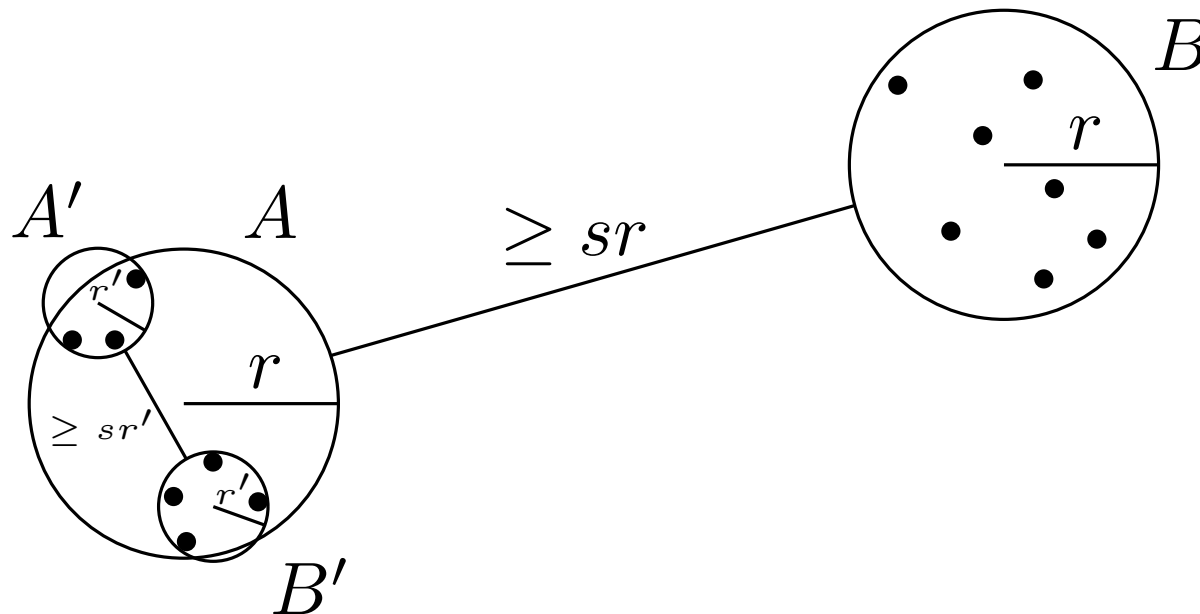
Well-Separated Pairs

Def.: Ein Paar disjunkter Punktmenge A und B im \mathbb{R}^d heißt **s -well separated** für ein $s > 0$, falls A und B jeweils von einer Kugel mit Radius r überdeckt werden und der Abstand der beiden Kugeln mindestens sr ist.



Well-Separated Pairs

Def.: Ein Paar disjunkter Punktmenge A und B im \mathbb{R}^d heißt **s -well separated** für ein $s > 0$, falls A und B jeweils von einer Kugel mit Radius r überdeckt werden und der Abstand der beiden Kugeln mindestens sr ist.



Beob.:

- s -well separated \Rightarrow s' -well separated für alle $s' \leq s$
- Singletons $\{a\}$ und $\{b\}$ sind s -well separated für alle $s > 0$

Well-Separated Pair Decomposition (WSPD)



Für wohlsepariertes Paar $\{A, B\}$ gilt, dass der Abstand für alle Punktpaare in $A \otimes B = \{\{a, b\} \mid a \in A, b \in B, a \neq b\}$ ähnlich ist.

Ziel: $o(n^2)$ -Datenstruktur, die den Abstand aller $\binom{n}{2}$ Paare von Punkten einer Menge $P = \{p_1, \dots, p_n\}$ approximiert.

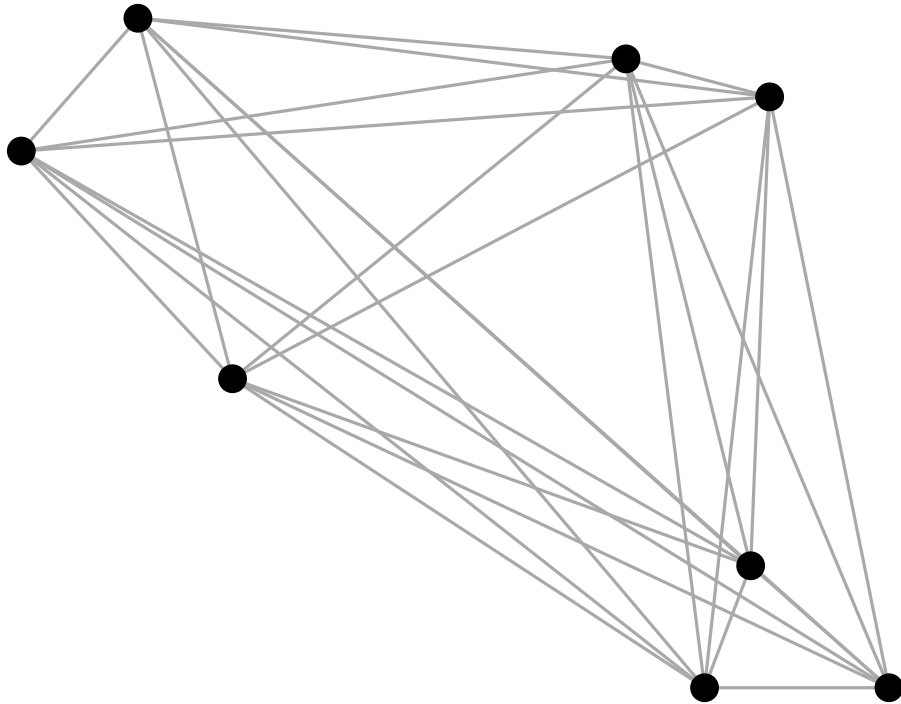
Für wohlsepariertes Paar $\{A, B\}$ gilt, dass der Abstand für alle Punktpaare in $A \otimes B = \{\{a, b\} \mid a \in A, b \in B, a \neq b\}$ ähnlich ist.

Ziel: $o(n^2)$ -Datenstruktur, die den Abstand aller $\binom{n}{2}$ Paare von Punkten einer Menge $P = \{p_1, \dots, p_n\}$ approximiert.

Def.: Für eine Punktmenge P und ein $s > 0$ ist eine **s -well separated pair decomposition** (s -WSPD) eine Menge von Paaren $\{\{A_1, B_1\}, \dots, \{A_m, B_m\}\}$ mit

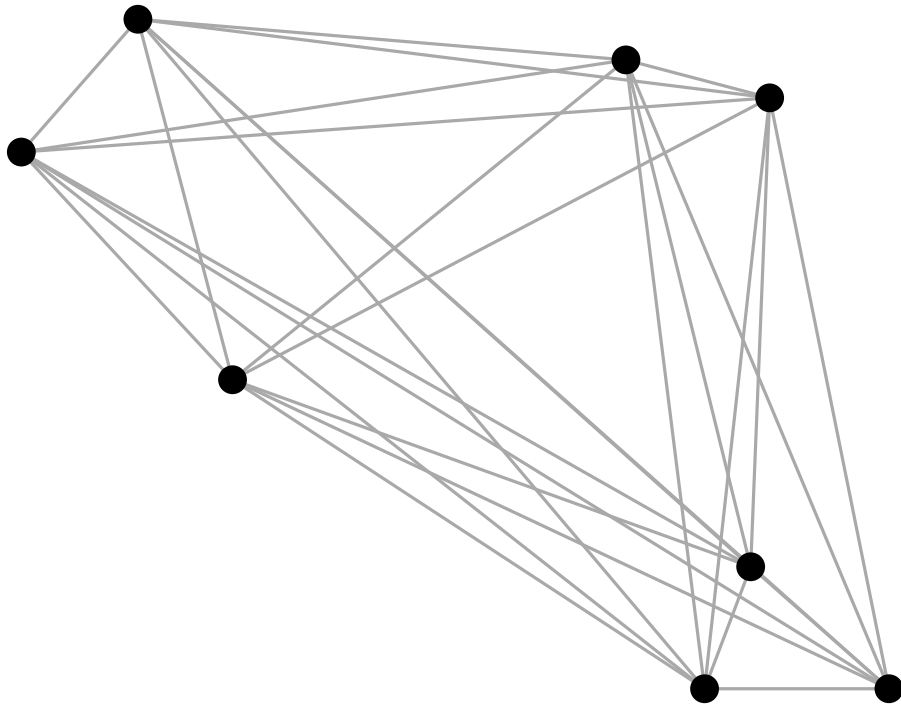
- $A_i, B_i \subset P$ für alle i
- $A_i \cap B_i = \emptyset$ für alle i
- $\bigcup_{i=1}^m A_i \otimes B_i = P \otimes P$
- $\{A_i, B_i\}$ s -well separated für alle i

Beispiel

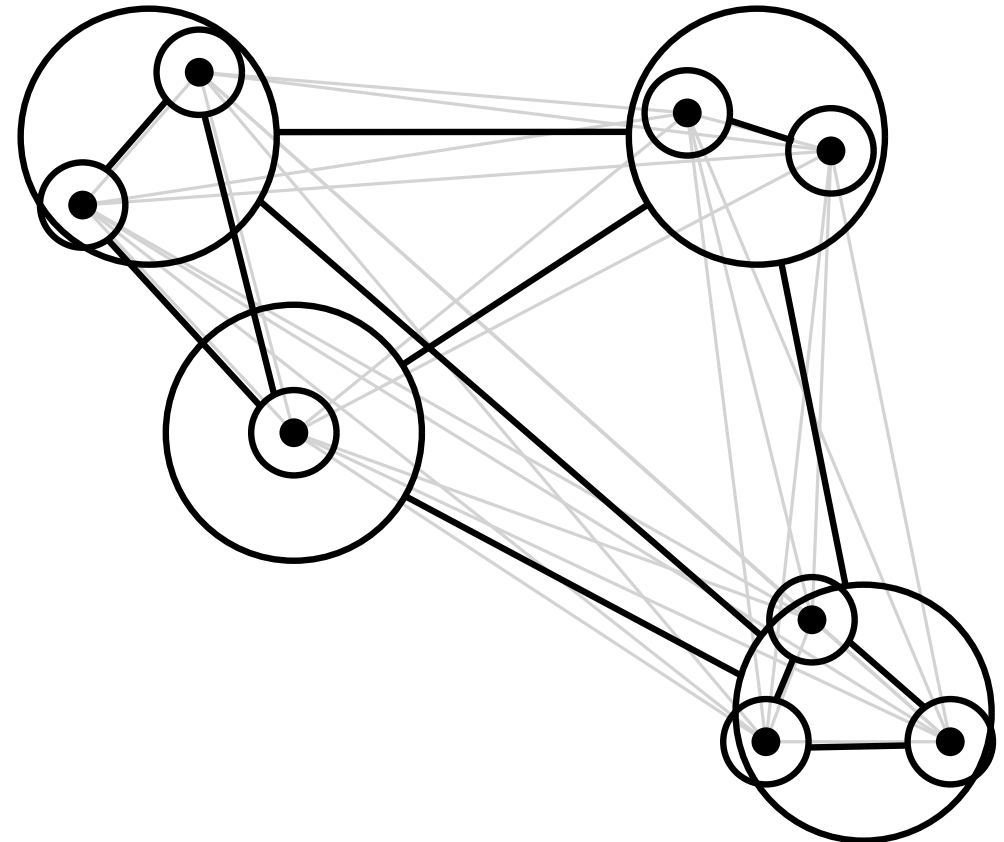


28 Punktpaare

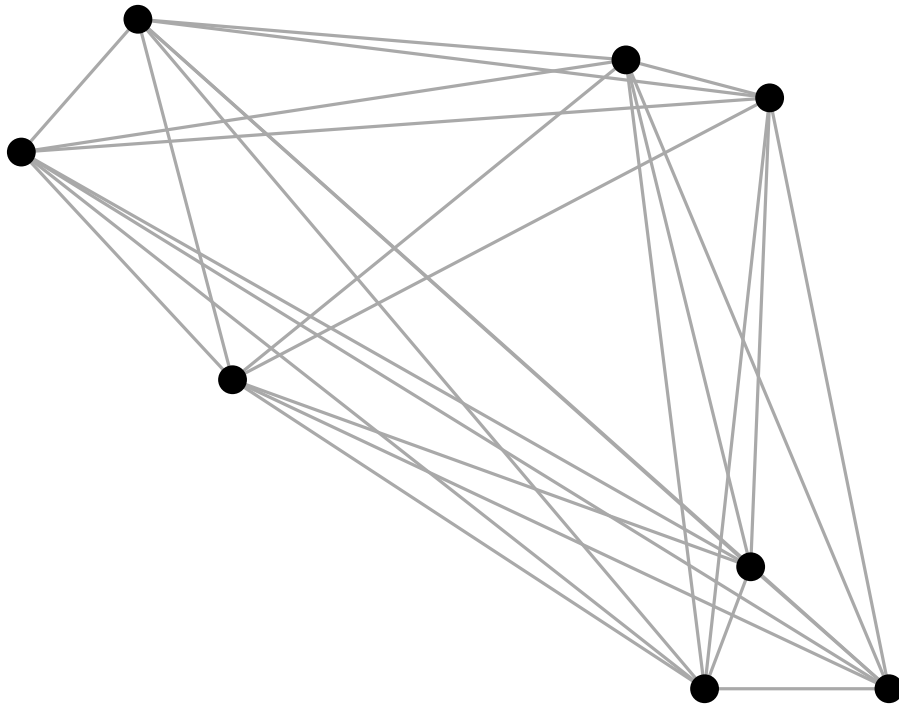
Beispiel



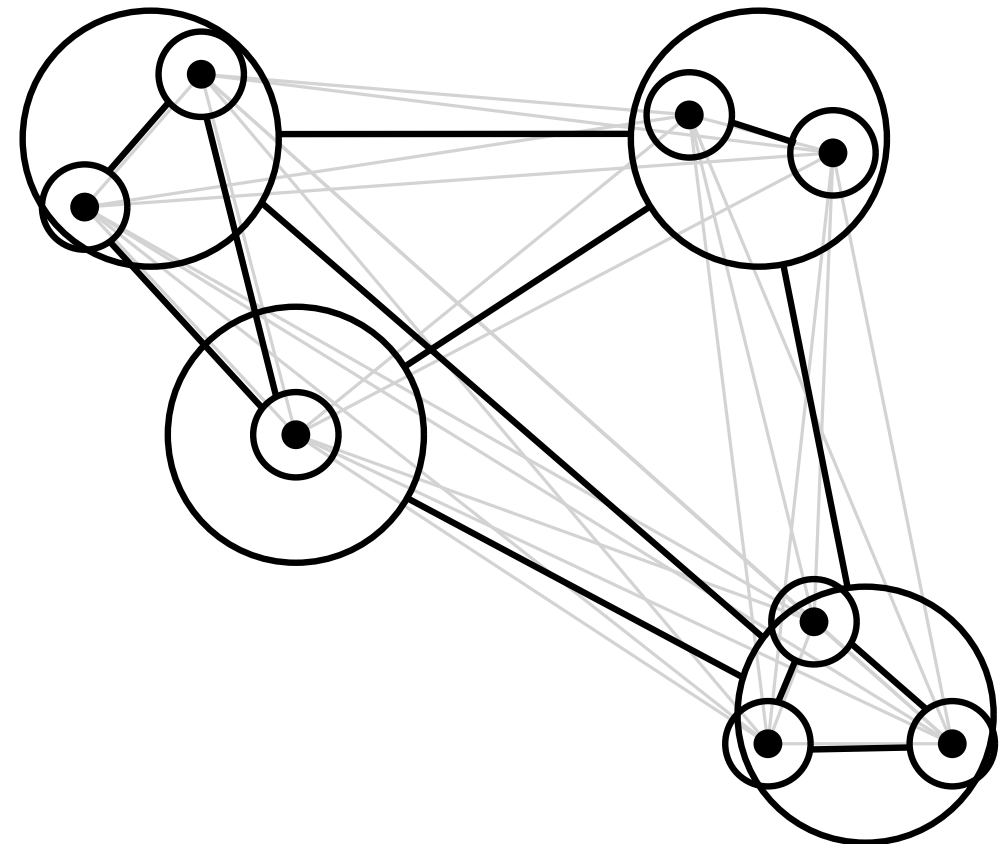
28 Punktpaare



12 s -well separated pairs



28 Punktpaare

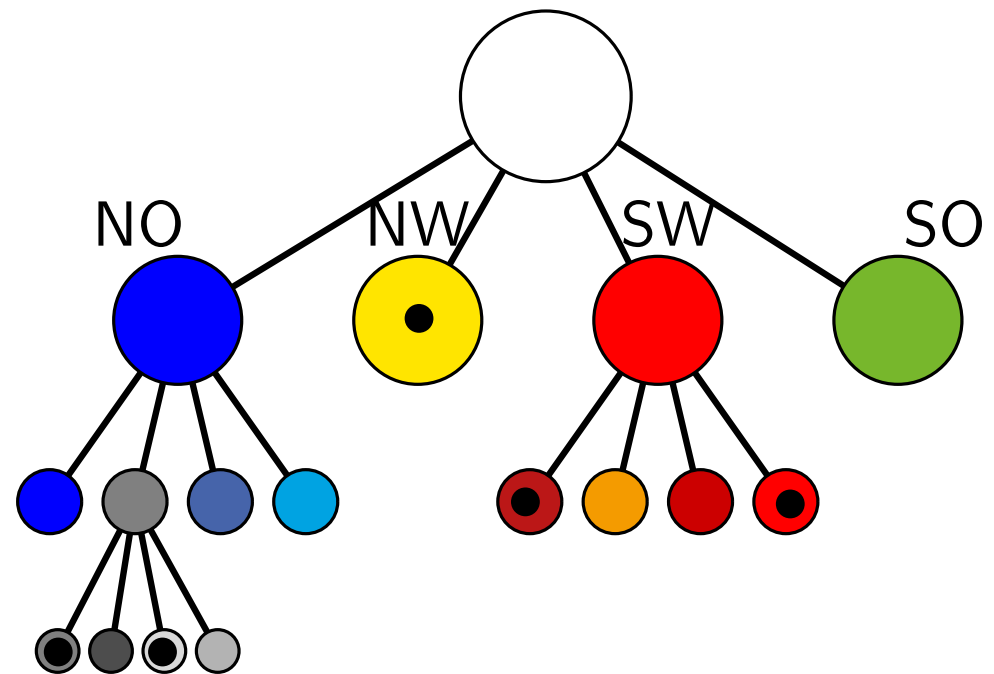
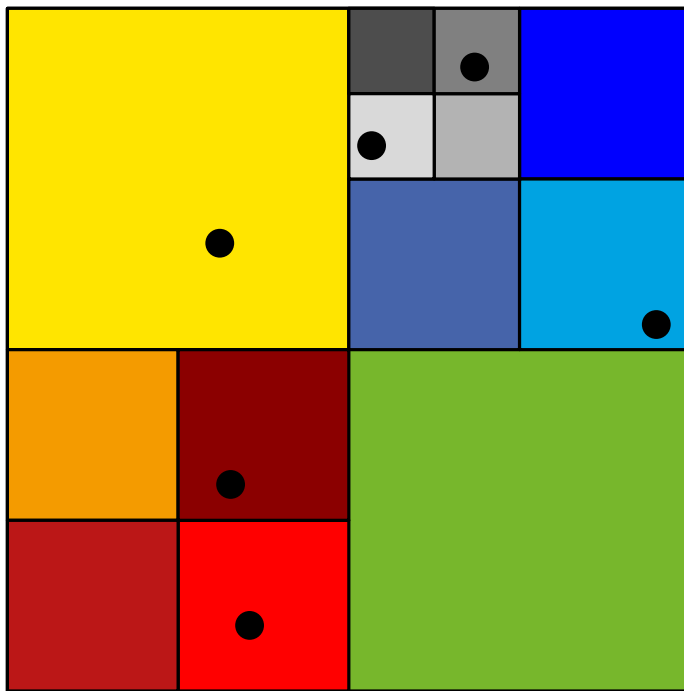


12 s -well separated pairs

WSPD der Größe $O(n^2)$ ist trivial. Geht es auch in $O(n)$?

Wiederholung: Quadrees

Def.: Ein **Quadtree** $\mathcal{T}(P)$ für eine Punktmenge P ist ein Wurzelbaum, in dem jeder innere Knoten vier Kinder hat. Jeder Knoten entspricht einem Quadrat und die Quadrate der Blätter bilden eine Unterteilung des Wurzelquadrats.



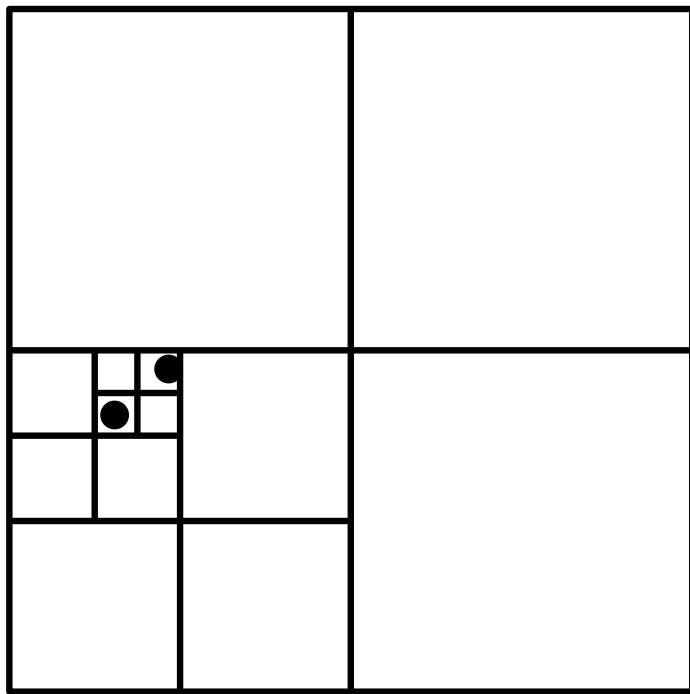
Def.: Ein **Quadtree** $\mathcal{T}(P)$ für eine Punktmenge P ist ein Wurzelbaum, in dem jeder innere Knoten vier Kinder hat. Jeder Knoten entspricht einem Quadrat und die Quadrate der Blätter bilden eine Unterteilung des Wurzelquadrats.

Lemma 1: Die Tiefe d von $\mathcal{T}(P)$ ist höchstens $\log(s/c) + 3/2$, wobei c der kleinste Abstand in P ist und s die Seitenlänge des Wurzelquadrats Q .

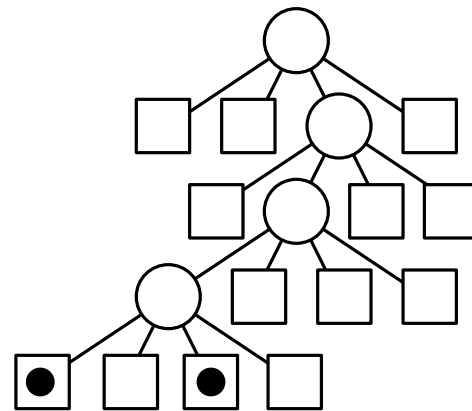
Satz 1: Ein Quadtree $\mathcal{T}(P)$ für n Punkte und mit Tiefe d hat $O((d+1)n)$ Knoten und kann in $O((d+1)n)$ Zeit konstruiert werden.

Komprimierte Quadrees

Def.: Ein **komprimierter** Quadtree ist ein Quadtree, bei dem Pfade nicht-separierender innerer Knoten zu einer Kante komprimiert sind. Die Kante trägt ein Label zur Rekonstruktion der Pfadstruktur.

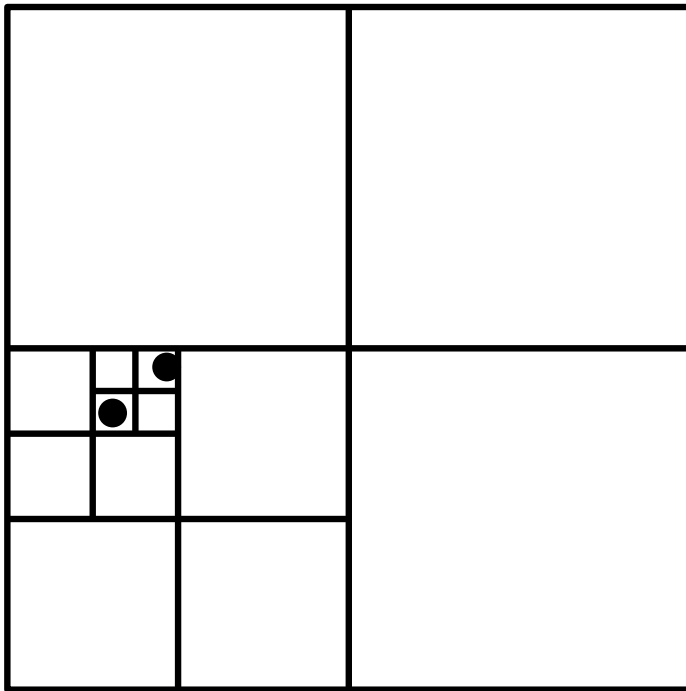


Quadtree

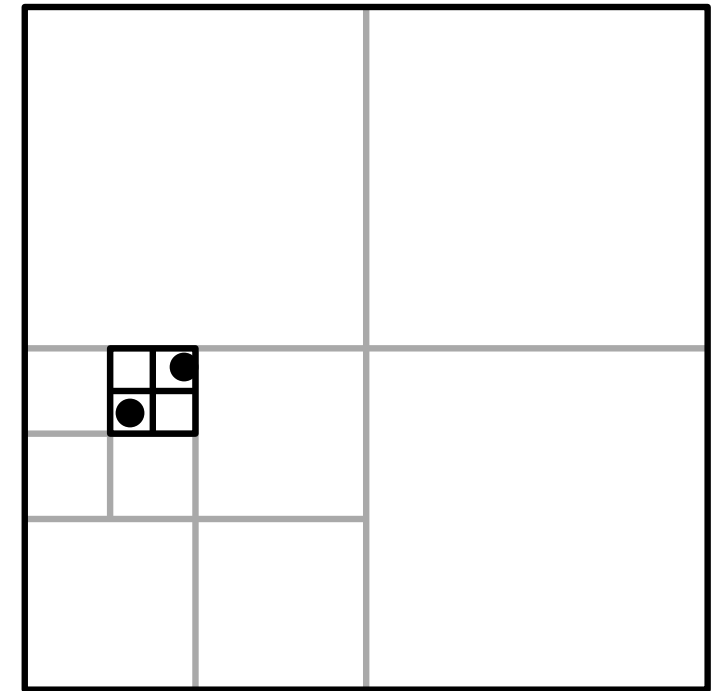
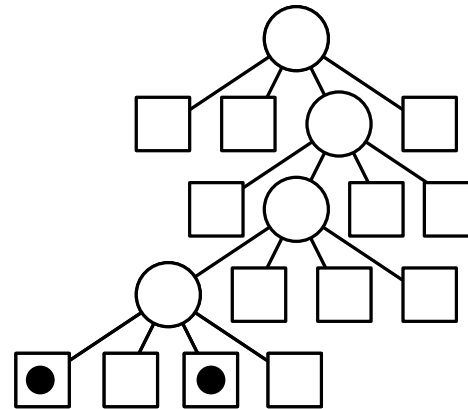


Komprimierte Quadrees

Def.: Ein **komprimierter** Quadtree ist ein Quadtree, bei dem Pfade nicht-separierender innerer Knoten zu einer Kante komprimiert sind. Die Kante trägt ein Label zur Rekonstruktion der Pfadstruktur.



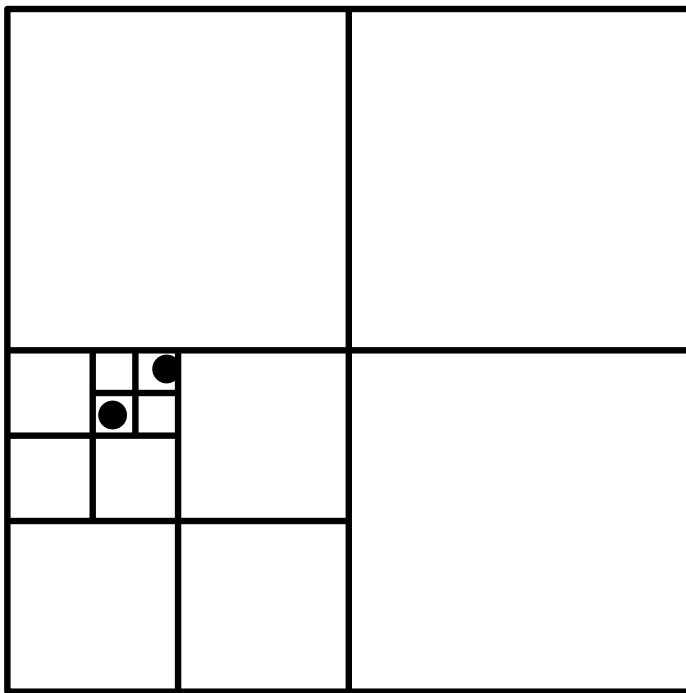
Quadtree



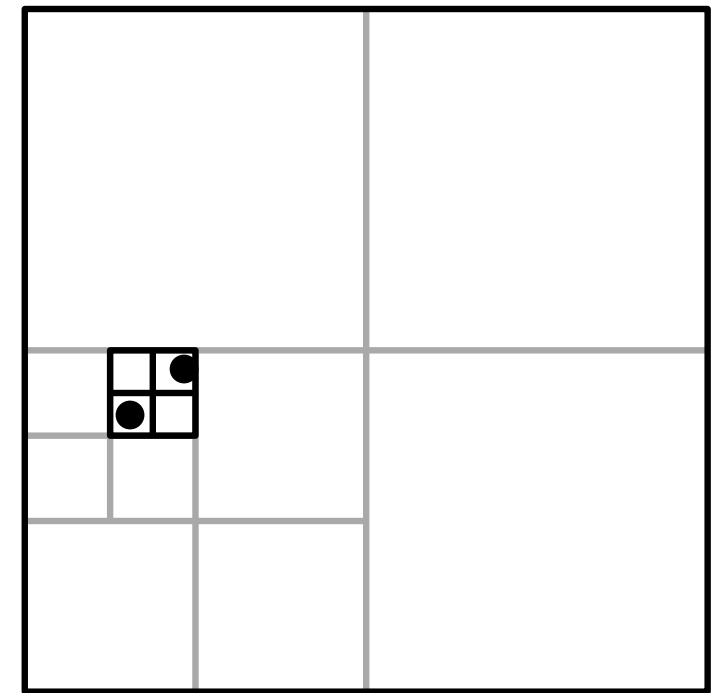
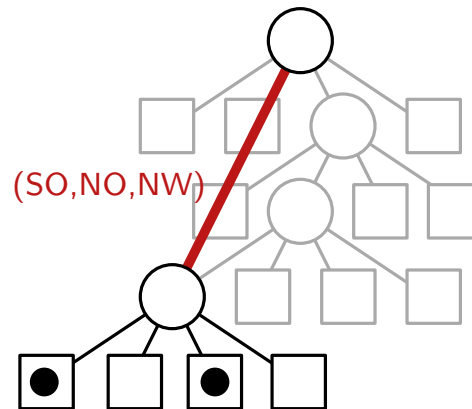
komprimierter Quadtree

Komprimierte Quadrees

Def.: Ein **komprimierter** Quadtree ist ein Quadtree, bei dem Pfade nicht-separierender innerer Knoten zu einer Kante komprimiert sind. Die Kante trägt ein Label zur Rekonstruktion der Pfadstruktur.



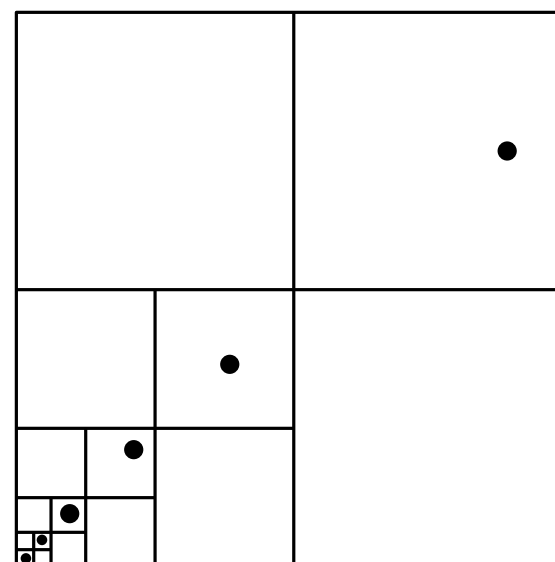
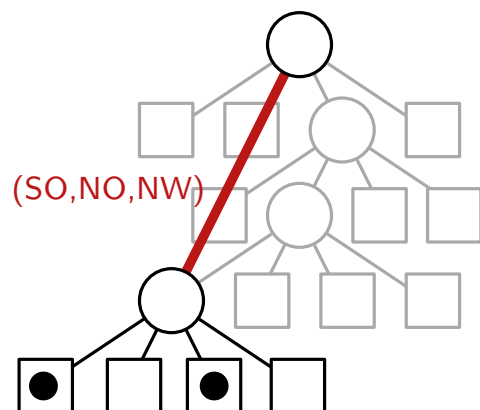
Quadtree



komprimierter Quadtree

Eigenschaften komprimierter Quadrees

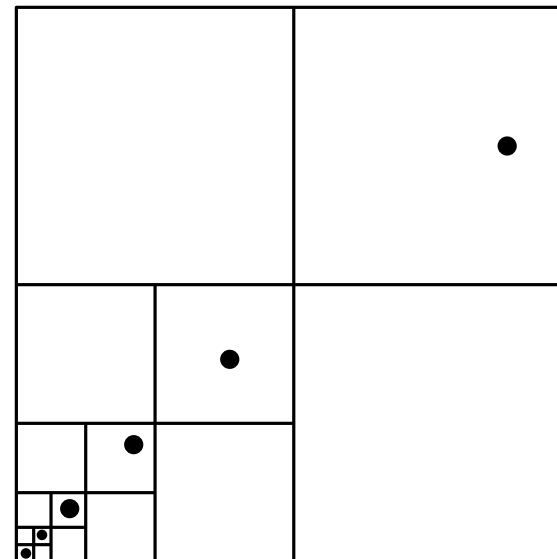
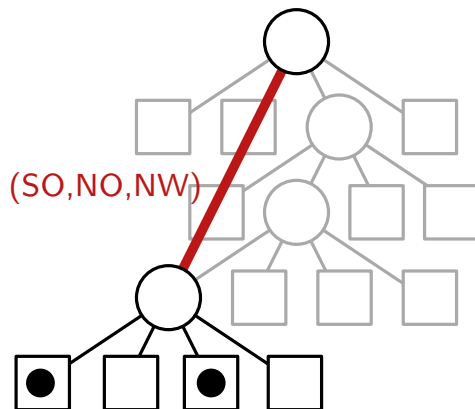
- Beob.:**
- innere Knoten teilen ihre Punktmenge in ≥ 2 nichtleere Teile \Rightarrow max. $n - 1$ innere Knoten
 - Tiefe kann $d = n$ sein, so dass der Algorithmus aus VL11 $O(n^2)$ Zeit zur Konstruktion braucht



Eigenschaften komprimierter Quadrees

- Beob.:**
- innere Knoten teilen ihre Punktmenge in ≥ 2 nichtleere Teile \Rightarrow max. $n - 1$ innere Knoten
 - Tiefe kann $d = n$ sein, so dass der Algorithmus aus VL11 $O(n^2)$ Zeit zur Konstruktion braucht

Satz: Ein komprimierter Quadtree für n Punkte im \mathbb{R}^d für festes d kann in $O(n \log n)$ Zeit konstruiert werden.
(hier ohne Beweis)



Lemma 2: Gegeben sei eine Kugel K mit Radius r im \mathbb{R}^d und eine Menge X paarweise disjunkter Quadtree-Zellen mit Seitenlänge $\geq x$, die K schneiden. Dann gilt

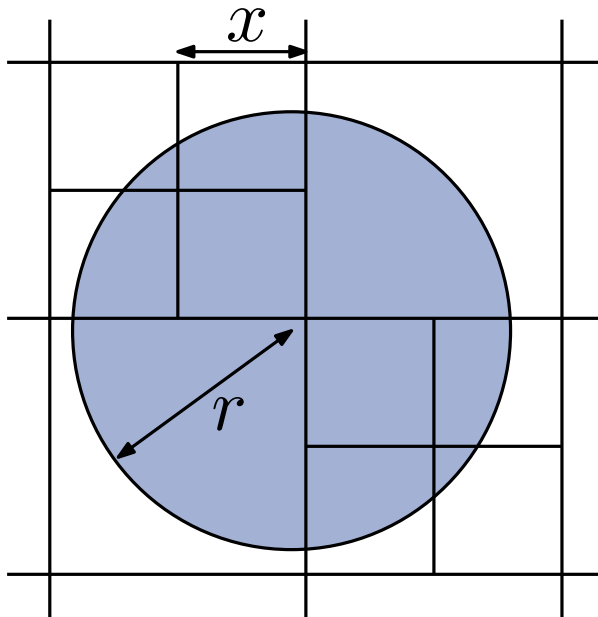
$$|X| \leq (1 + \lceil 2r/x \rceil)^d.$$

Packungslemma

Lemma 2: Gegeben sei eine Kugel K mit Radius r im \mathbb{R}^d und eine Menge X paarweise disjunkter Quadtree-Zellen mit Seitenlänge $\geq x$, die K schneiden. Dann gilt

$$|X| \leq (1 + \lceil 2r/x \rceil)^d.$$

Beweis:

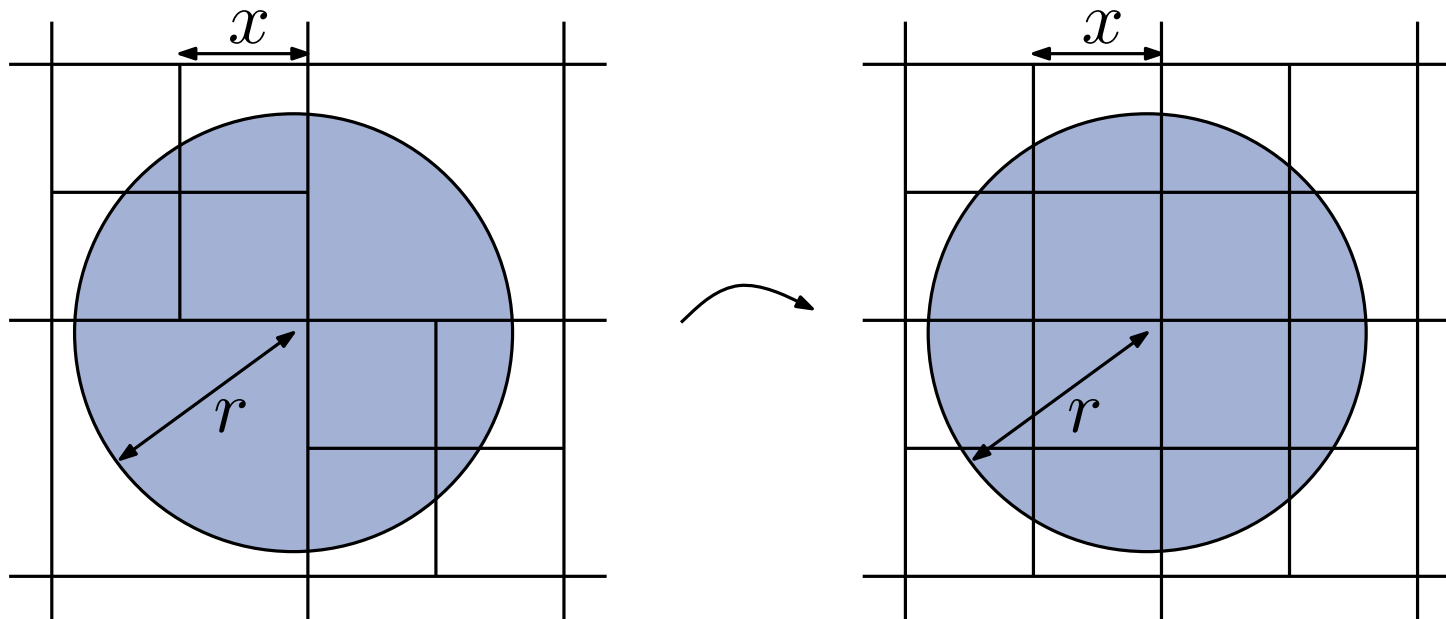


Packungslemma

Lemma 2: Gegeben sei eine Kugel K mit Radius r im \mathbb{R}^d und eine Menge X paarweise disjunkter Quadtree-Zellen mit Seitenlänge $\geq x$, die K schneiden. Dann gilt

$$|X| \leq (1 + \lceil 2r/x \rceil)^d.$$

Beweis:

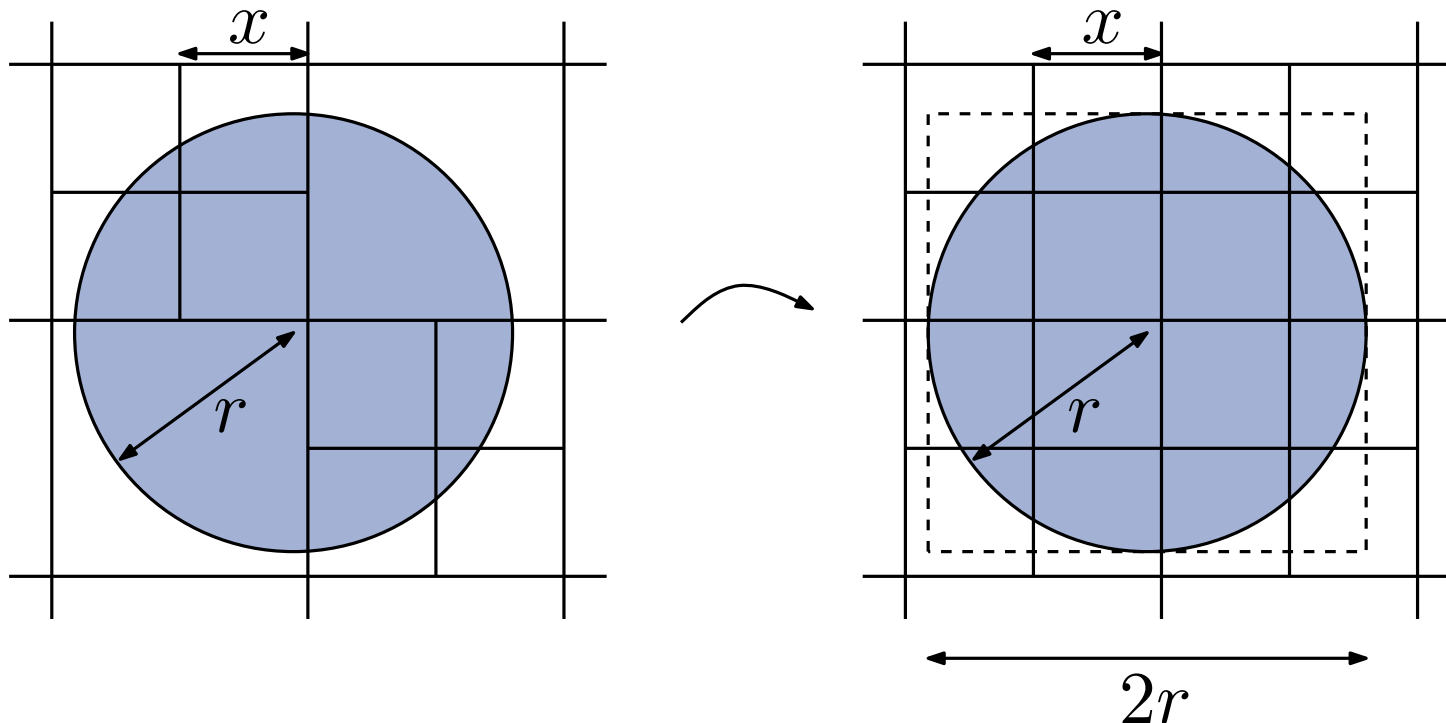


Packungslemma

Lemma 2: Gegeben sei eine Kugel K mit Radius r im \mathbb{R}^d und eine Menge X paarweise disjunkter Quadtree-Zellen mit Seitenlänge $\geq x$, die K schneiden. Dann gilt

$$|X| \leq (1 + \lceil 2r/x \rceil)^d.$$

Beweis:



Def.: Für jeden Knoten u eines Quadrees $\mathcal{T}(P)$ der Punktmenge P sei $P_u = Q_u \cap P$ die Menge der Punkte im zugehörigen Quadrat Q_u . In jedem Blatt u definiere den Repräsentanten

$$\text{rep}(u) = \begin{cases} p & \text{falls } P_u = \{p\} \text{ (} u \text{ ist Blatt)} \\ \emptyset & \text{sonst.} \end{cases}$$

Für einen inneren Knoten v setze $\text{rep}(v) = \text{rep}(u)$ für ein nichtleeres Kind u von v .

Def.: Für jeden Knoten u eines Quadtree $\mathcal{T}(P)$ der Punktmenge P sei $P_u = Q_u \cap P$ die Menge der Punkte im zugehörigen Quadrat Q_u . In jedem Blatt u definiere den Repräsentanten

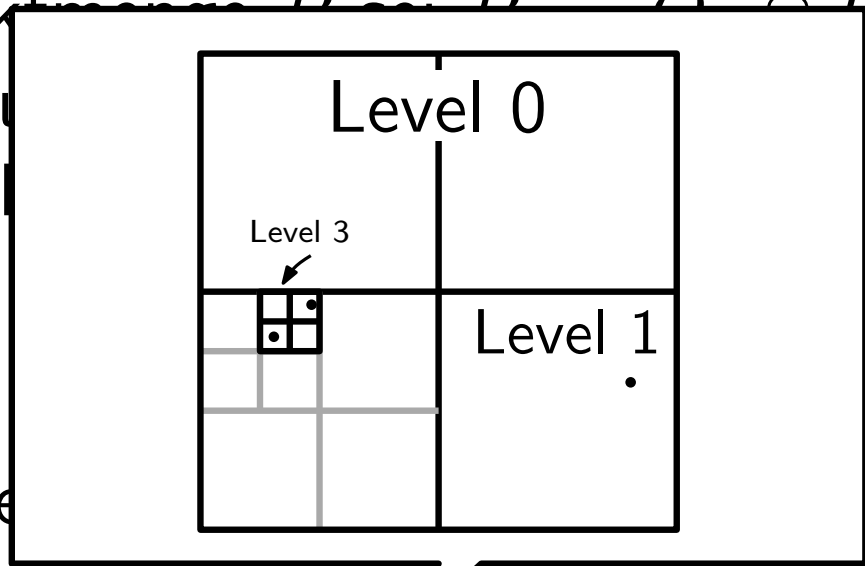
$$\text{rep}(u) = \begin{cases} p & \text{falls } P_u = \{p\} \text{ (} u \text{ ist Blatt)} \\ \emptyset & \text{sonst.} \end{cases}$$

Für einen inneren Knoten v setze $\text{rep}(v) = \text{rep}(u)$ für ein nichtleeres Kind u von v .

Def.: Für jeden Knoten u eines Quadtree $\mathcal{T}(P)$ sei $\text{level}(u)$ das Level von u im zugeh. *unkomprimierten* Quadtree. Es gilt $\text{level}(u) \leq \text{level}(v)$ gdw. $\text{Fläche}(Q_u) \geq \text{Fläche}(Q_v)$.

Repräsentanten und Level

Def.: Für jeden Knoten u eines Quadtree $\mathcal{T}(P)$ der Punktmenge P sei $Q_u \subseteq P$ die Menge der Punkte im zugehörigen Blatt u und $rep(u)$ der Repräsentant von u . Für ein nichtleeres Kind v von u gilt $rep(v) = rep(u)$ für ein



Def.: Für jeden Knoten u eines Quadtree $\mathcal{T}(P)$ sei $level(u)$ das Level von u im zugehörigen *unkomprimierten* Quadtree. Es gilt $level(u) \leq level(v)$ gdw. $Fläche(Q_u) \geq Fläche(Q_v)$.

Konstruktion einer WSPD

$\text{wsPairs}(u, v, \mathcal{T}, s)$

Input: Quadtree-Knoten u, v , Quadtree \mathcal{T} , $s > 0$

Output: WSPD für $P_u \otimes P_v$

if $\text{rep}(u) = \emptyset$ oder $\text{rep}(v) = \emptyset$ oder Blätter $u = v$ **then return** \emptyset

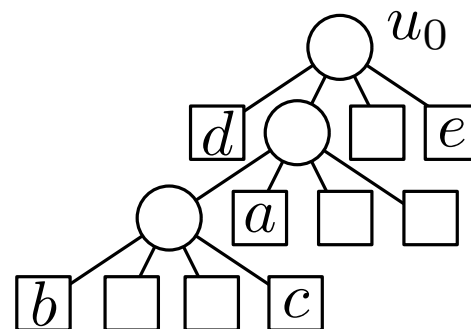
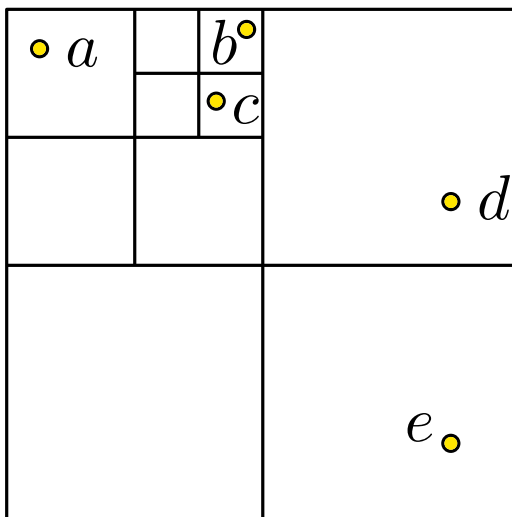
else if P_u und P_v s -well separated **then return** $\{\{u, v\}\}$

else

if $\text{level}(u) > \text{level}(v)$ **then** tausche u und v

$(u_1, \dots, u_m) \leftarrow$ Kinder von u in \mathcal{T}

return $\bigcup_{i=1}^m \text{wsPairs}(u_i, v, \mathcal{T}, s)$



Konstruktion einer WSPD

$\text{wsPairs}(u, v, \mathcal{T}, s)$

Input: Quadtree-Knoten u, v , Quadtree \mathcal{T} , $s > 0$

Output: WSPD für $P_u \otimes P_v$

if $\text{rep}(u) = \emptyset$ oder $\text{rep}(v) = \emptyset$ oder Blätter $u = v$ **then return** \emptyset

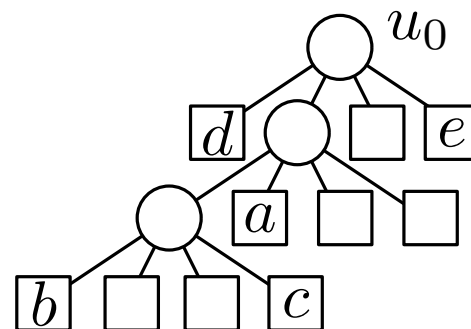
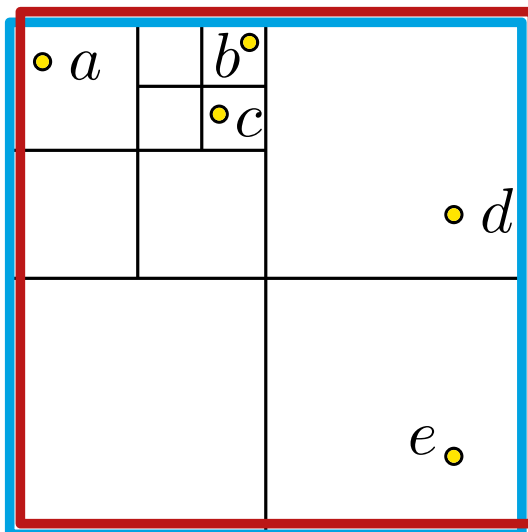
else if P_u und P_v s -well separated **then return** $\{\{u, v\}\}$

else

if $\text{level}(u) > \text{level}(v)$ **then** tausche u und v

$(u_1, \dots, u_m) \leftarrow$ Kinder von u in \mathcal{T}

return $\bigcup_{i=1}^m \text{wsPairs}(u_i, v, \mathcal{T}, s)$



Konstruktion einer WSPD

$\text{wsPairs}(u, v, \mathcal{T}, s)$

Input: Quadtree-Knoten u, v , Quadtree \mathcal{T} , $s > 0$

Output: WSPD für $P_u \otimes P_v$

if $\text{rep}(u) = \emptyset$ oder $\text{rep}(v) = \emptyset$ oder Blätter $u = v$ **then return** \emptyset

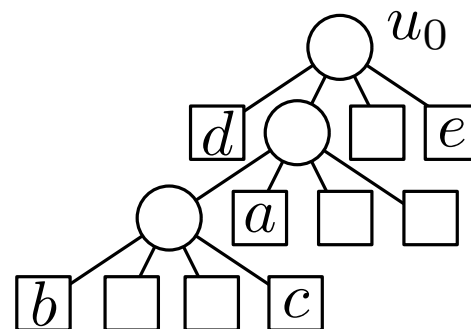
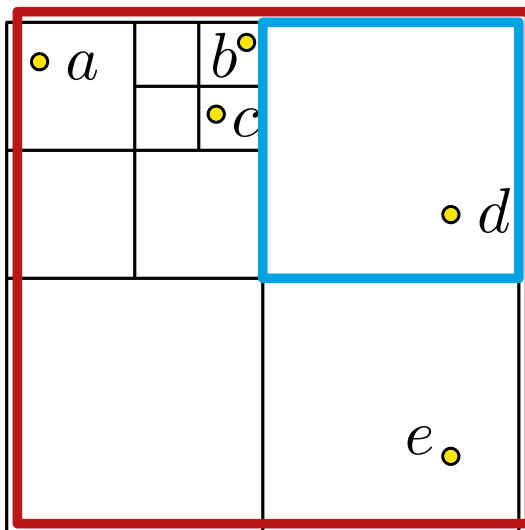
else if P_u und P_v s -well separated **then return** $\{\{u, v\}\}$

else

if $\text{level}(u) > \text{level}(v)$ **then** tausche u und v

$(u_1, \dots, u_m) \leftarrow$ Kinder von u in \mathcal{T}

return $\bigcup_{i=1}^m \text{wsPairs}(u_i, v, \mathcal{T}, s)$



Konstruktion einer WSPD

$\text{wsPairs}(u, v, \mathcal{T}, s)$

Input: Quadtree-Knoten u, v , Quadtree \mathcal{T} , $s > 0$

Output: WSPD für $P_u \otimes P_v$

if $\text{rep}(u) = \emptyset$ oder $\text{rep}(v) = \emptyset$ oder Blätter $u = v$ **then return** \emptyset

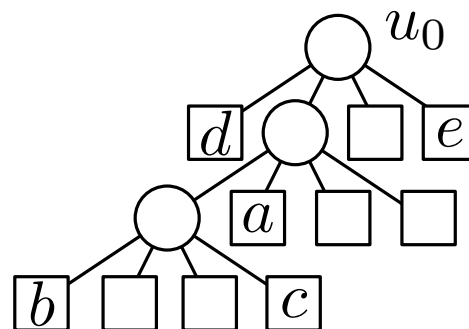
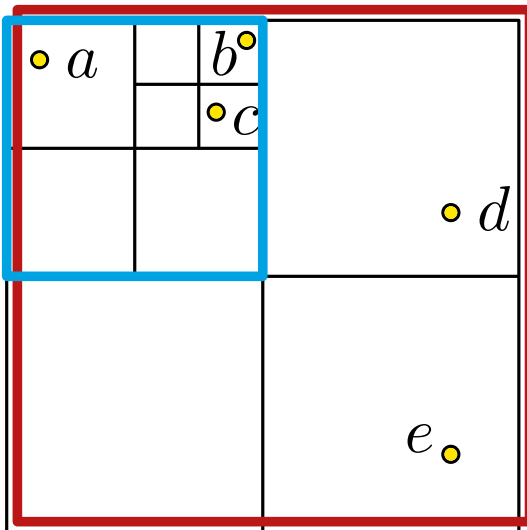
else if P_u und P_v s -well separated **then return** $\{\{u, v\}\}$

else

if $\text{level}(u) > \text{level}(v)$ **then** tausche u und v

$(u_1, \dots, u_m) \leftarrow$ Kinder von u in \mathcal{T}

return $\bigcup_{i=1}^m \text{wsPairs}(u_i, v, \mathcal{T}, s)$



Konstruktion einer WSPD

$\text{wsPairs}(u, v, \mathcal{T}, s)$

Input: Quadtree-Knoten u, v , Quadtree \mathcal{T} , $s > 0$

Output: WSPD für $P_u \otimes P_v$

if $\text{rep}(u) = \emptyset$ oder $\text{rep}(v) = \emptyset$ oder Blätter $u = v$ **then return** \emptyset

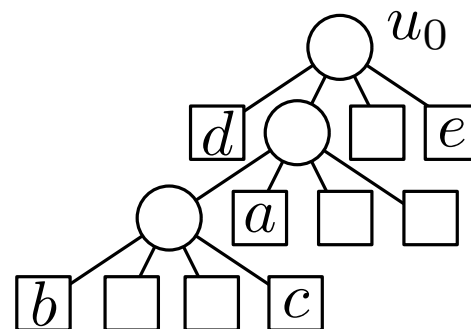
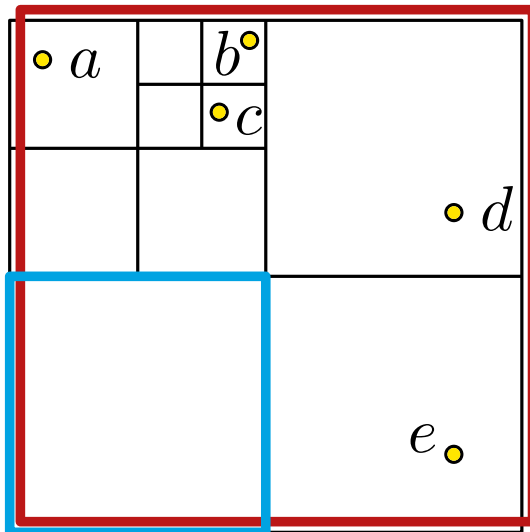
else if P_u und P_v s -well separated **then return** $\{\{u, v\}\}$

else

if $\text{level}(u) > \text{level}(v)$ **then** tausche u und v

$(u_1, \dots, u_m) \leftarrow$ Kinder von u in \mathcal{T}

return $\bigcup_{i=1}^m \text{wsPairs}(u_i, v, \mathcal{T}, s)$



Konstruktion einer WSPD

$\text{wsPairs}(u, v, \mathcal{T}, s)$

Input: Quadtree-Knoten u, v , Quadtree \mathcal{T} , $s > 0$

Output: WSPD für $P_u \otimes P_v$

if $\text{rep}(u) = \emptyset$ oder $\text{rep}(v) = \emptyset$ oder Blätter $u = v$ **then return** \emptyset

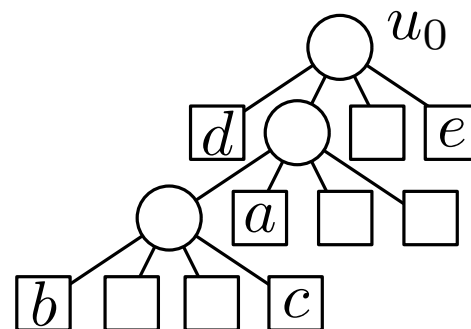
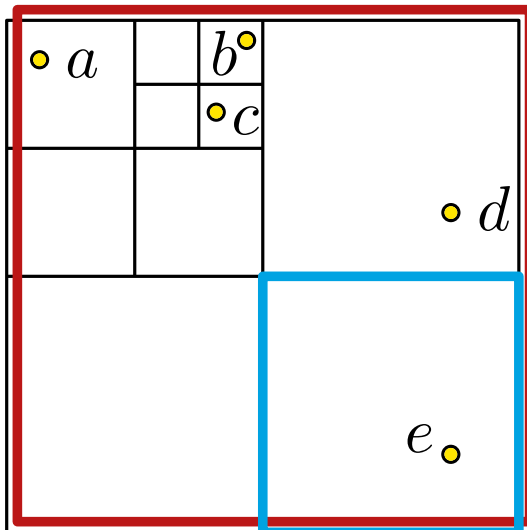
else if P_u und P_v s -well separated **then return** $\{\{u, v\}\}$

else

if $\text{level}(u) > \text{level}(v)$ **then** tausche u und v

$(u_1, \dots, u_m) \leftarrow$ Kinder von u in \mathcal{T}

return $\bigcup_{i=1}^m \text{wsPairs}(u_i, v, \mathcal{T}, s)$



Konstruktion einer WSPD

$\text{wsPairs}(u, v, \mathcal{T}, s)$

Input: Quadtree-Knoten u, v , Quadtree \mathcal{T} , $s > 0$

Output: WSPD für $P_u \otimes P_v$

if $\text{rep}(u) = \emptyset$ oder $\text{rep}(v) = \emptyset$ oder Blätter $u = v$ **then return** \emptyset

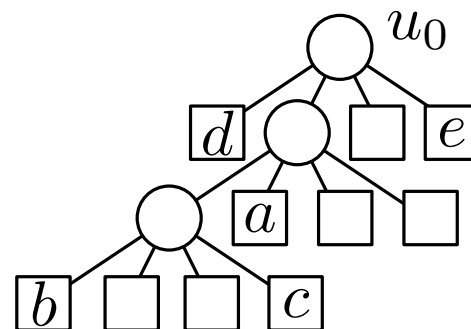
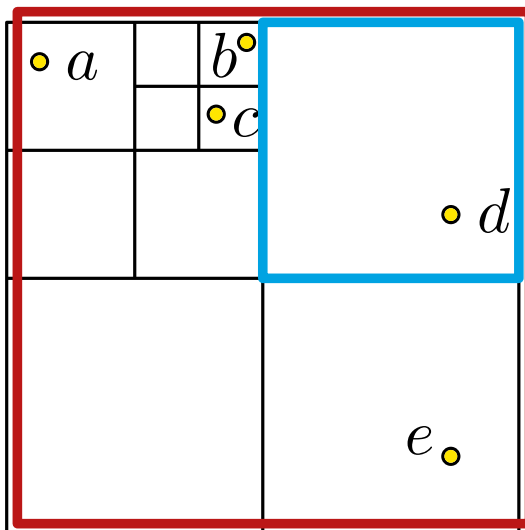
else if P_u und P_v s -well separated **then return** $\{\{u, v\}\}$

else

if $\text{level}(u) > \text{level}(v)$ **then** tausche u und v

$(u_1, \dots, u_m) \leftarrow$ Kinder von u in \mathcal{T}

return $\bigcup_{i=1}^m \text{wsPairs}(u_i, v, \mathcal{T}, s)$



Konstruktion einer WSPD

$\text{wsPairs}(u, v, \mathcal{T}, s)$

Input: Quadtree-Knoten u, v , Quadtree \mathcal{T} , $s > 0$

Output: WSPD für $P_u \otimes P_v$

if $\text{rep}(u) = \emptyset$ oder $\text{rep}(v) = \emptyset$ oder Blätter $u = v$ **then return** \emptyset

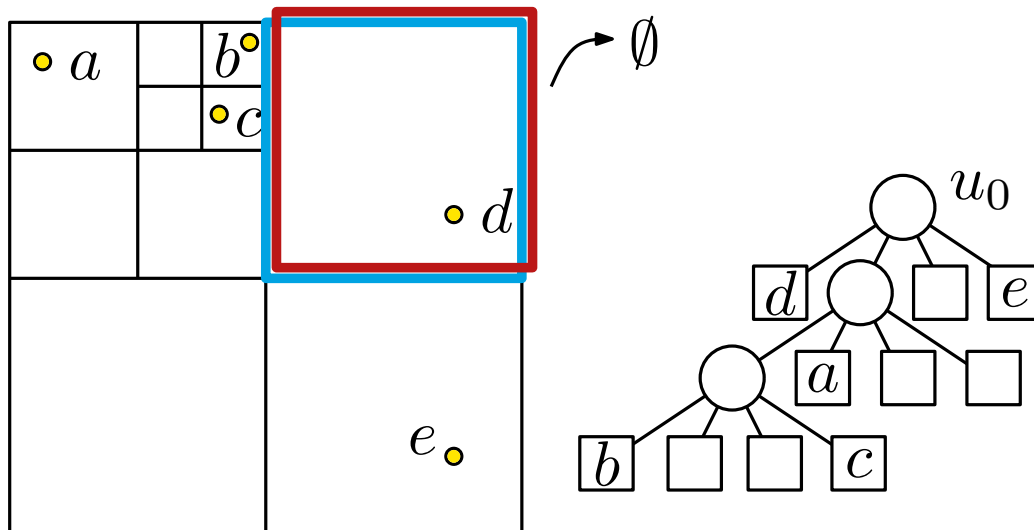
else if P_u und P_v s -well separated **then return** $\{\{u, v\}\}$

else

if $\text{level}(u) > \text{level}(v)$ **then** tausche u und v

$(u_1, \dots, u_m) \leftarrow$ Kinder von u in \mathcal{T}

return $\bigcup_{i=1}^m \text{wsPairs}(u_i, v, \mathcal{T}, s)$



Konstruktion einer WSPD

$wsPairs(u, v, \mathcal{T}, s)$

Input: Quadrate Q_u und Q_v (bzw. Radius 0 für Punkt in Blatt)

Output: WS $\{u, v\}$ vergrößere kleineren Kreis und prüfe Abstand $\geq sr$

if $rep(u) = \emptyset$ oder $rep(v) = \emptyset$ oder Blätter $u = v$ **then return** \emptyset

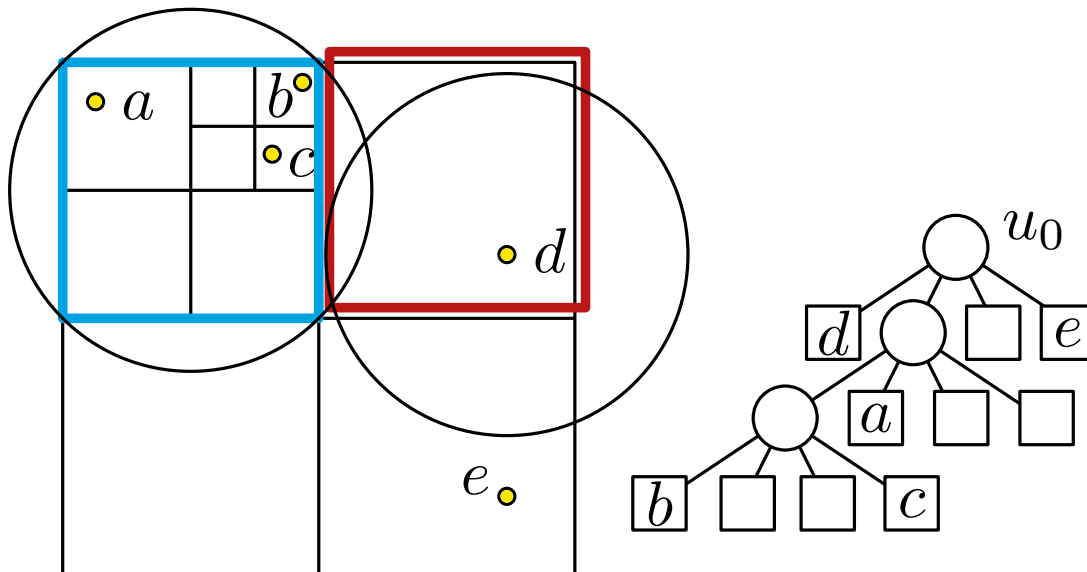
else if P_u und P_v s -well separated **then return** $\{\{u, v\}\}$

else

if $level(u) > level(v)$ **then** tausche u und v

$(u_1, \dots, u_m) \leftarrow$ Kinder von u in \mathcal{T}

return $\bigcup_{i=1}^m wsPairs(u_i, v, \mathcal{T}, s)$



Konstruktion einer WSPD

$wsPairs(u, v, \mathcal{T}, s)$

Input: Quadrate Q_u und Q_v (bzw. Radius 0 für Punkt in Blatt)

Output: WS $\{u, v\}$ vergrößere kleineren Kreis und prüfe Abstand $\geq sr$

if $rep(u) = \emptyset$ oder $rep(v) = \emptyset$ oder Blätter $u = v$ **then return** \emptyset

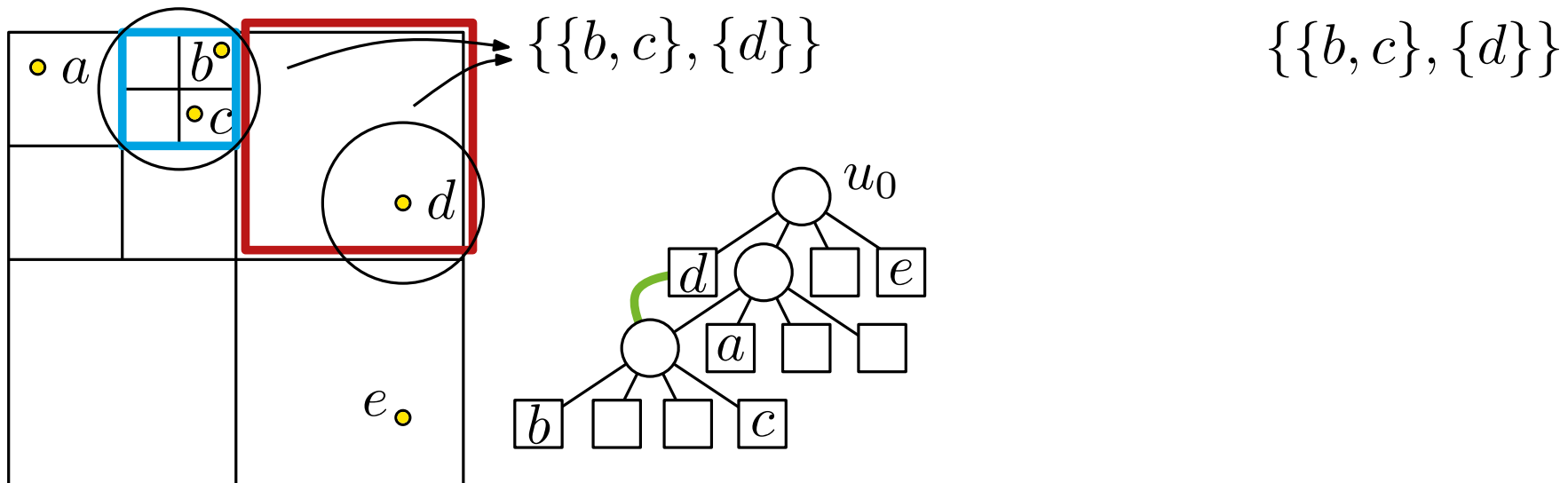
else if P_u und P_v s -well separated **then return** $\{\{u, v\}\}$

else

if $level(u) > level(v)$ **then** tausche u und v

$(u_1, \dots, u_m) \leftarrow$ Kinder von u in \mathcal{T}

return $\bigcup_{i=1}^m wsPairs(u_i, v, \mathcal{T}, s)$



Konstruktion einer WSPD

$\text{wsPairs}(u, v, \mathcal{T}, s)$

Input: Quadtree-Knoten u, v , Quadtree \mathcal{T} , $s > 0$

Output: WSPD für $P_u \otimes P_v$

if $\text{rep}(u) = \emptyset$ oder $\text{rep}(v) = \emptyset$ oder Blätter $u = v$ **then return** \emptyset

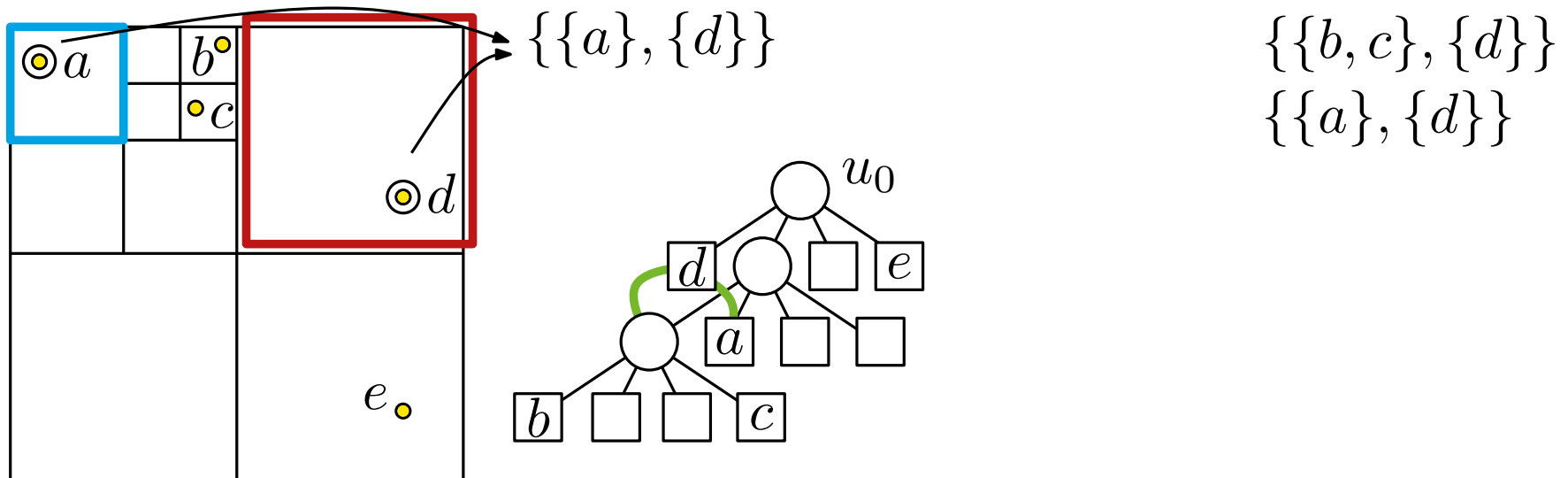
else if P_u und P_v s -well separated **then return** $\{\{u, v\}\}$

else

if $\text{level}(u) > \text{level}(v)$ **then** tausche u und v

$(u_1, \dots, u_m) \leftarrow$ Kinder von u in \mathcal{T}

return $\bigcup_{i=1}^m \text{wsPairs}(u_i, v, \mathcal{T}, s)$



Konstruktion einer WSPD

$\text{wsPairs}(u, v, \mathcal{T}, s)$

Input: Quadtree-Knoten u, v , Quadtree \mathcal{T} , $s > 0$

Output: WSPD für $P_u \otimes P_v$

if $\text{rep}(u) = \emptyset$ oder $\text{rep}(v) = \emptyset$ oder Blätter $u = v$ **then return** \emptyset

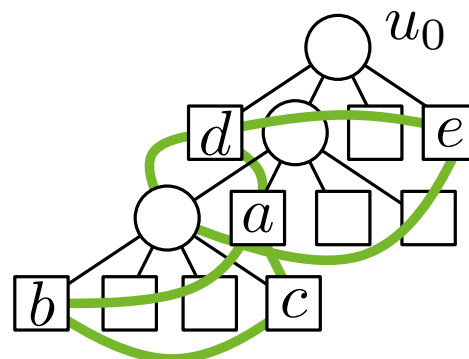
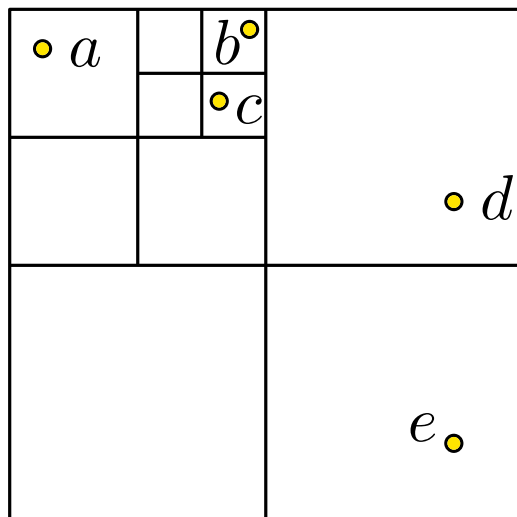
else if P_u und P_v s -well separated **then return** $\{\{u, v\}\}$

else

if $\text{level}(u) > \text{level}(v)$ **then** tausche u und v

$(u_1, \dots, u_m) \leftarrow$ Kinder von u in \mathcal{T}

return $\bigcup_{i=1}^m \text{wsPairs}(u_i, v, \mathcal{T}, s)$



$\{\{b, c\}, \{d\}\}$

$\{\{a\}, \{d\}\}$

$\{\{b, c\}, \{e\}\}$

$\{\{d\}, \{e\}\}$

$\{\{a\}, \{b\}\}$

$\{\{a\}, \{c\}\}$

$\{\{b\}, \{c\}\}$

Konstruktion einer WSPD

$\text{wsPairs}(u, v, \mathcal{T}, s)$

Input: Quadtree-Knoten u, v , Quadtree \mathcal{T} , $s > 0$

Output: WSPD für $P_u \otimes P_v$

if $\text{rep}(u) = \emptyset$ oder $\text{rep}(v) = \emptyset$ oder Blätter $u = v$ **then return** \emptyset

else if P_u und P_v s -well separated **then return** $\{\{u, v\}\}$

else

if $\text{level}(u) > \text{level}(v)$ **then** tausche u und v

$(u_1, \dots, u_m) \leftarrow$ Kinder von u in \mathcal{T}

return $\bigcup_{i=1}^m \text{wsPairs}(u_i, v, \mathcal{T}, s)$

- initialer Aufruf $\text{wsPairs}(u_0, u_0, \mathcal{T}, s)$ Wie?
- Duplikate $\text{wsPairs}(u_i, u_j, \mathcal{T}, s)$ und $\text{wsPairs}(u_j, u_i, \mathcal{T}, s)$ vermeiden
- Blattpaare sind immer s -well separated, Algorithmus terminiert also
- Ausgabe sind Paare von Quadtree-Knoten Speicherplatz?

Konstruktion einer WSPD

$\text{wsPairs}(u, v, \mathcal{T}, s)$

Input: Quadtree-Knoten u, v , Quadtree \mathcal{T} , $s > 0$

Output: WSPD für $P_u \otimes P_v$

if $\text{rep}(u) = \emptyset$ oder $\text{rep}(v) = \emptyset$ oder Blätter $u = v$ **then return** \emptyset

else if P_u und P_v s -well separated **then return** $\{\{u, v\}\}$

else

if $\text{level}(u) > \text{level}(v)$ **then** tausche u und v

$(u_1, \dots, u_m) \leftarrow$ Kinder von u in \mathcal{T}

return $\bigcup_{i=1}^m \text{wsPairs}(u_i, v, \mathcal{T}, s)$

- initialer Aufruf $\text{wsPairs}(u_0, u_0, \mathcal{T}, s)$ Wie?
- Duplikate $\text{wsPairs}(u_i, u_j, \mathcal{T}, s)$ und $\text{wsPairs}(u_j, u_i, \mathcal{T}, s)$ vermeiden
- Blattpaare sind immer s -well separated, Algorithmus terminiert also
- Ausgabe sind Paare von Quadtree-Knoten Speicherplatz?

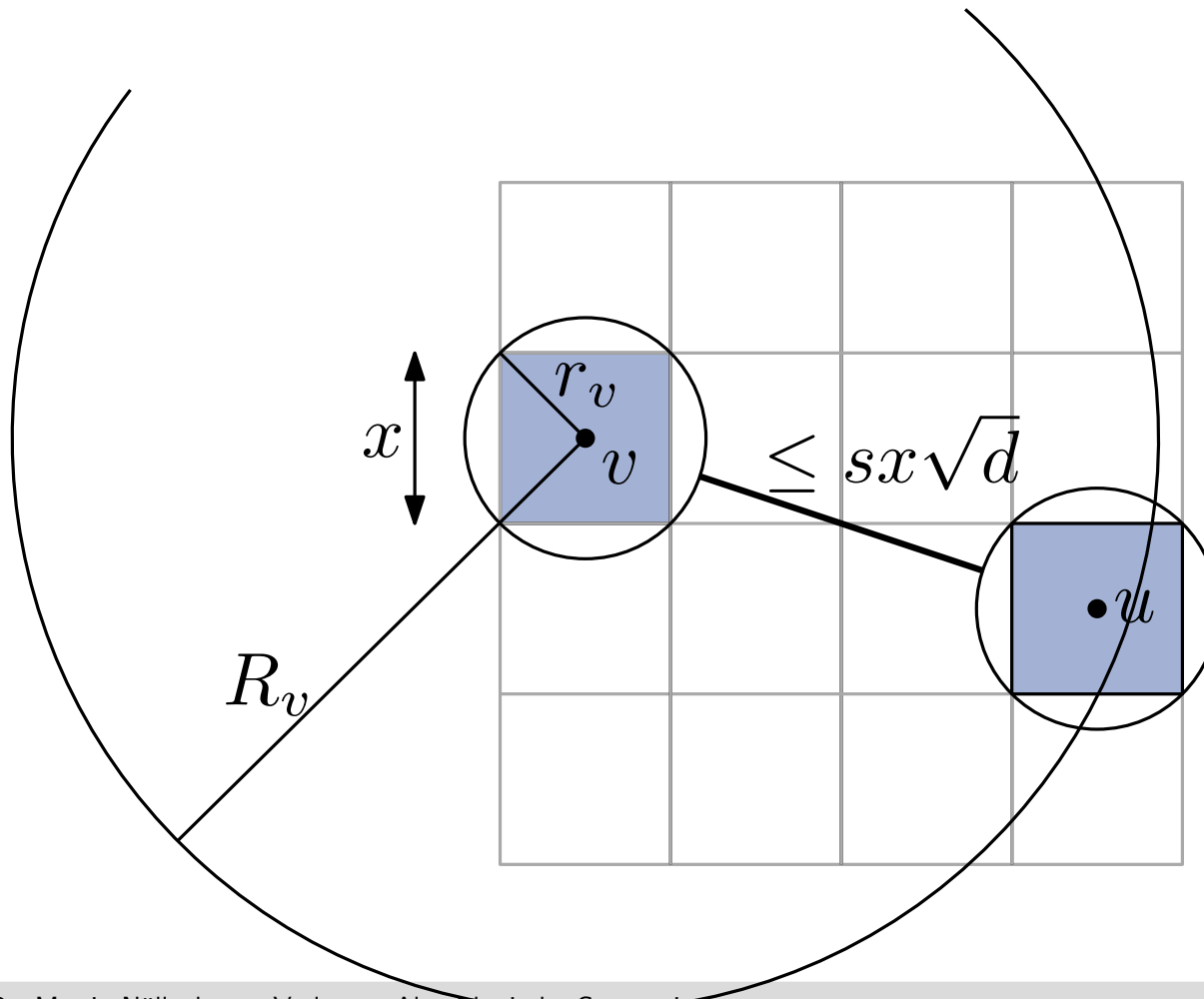
Frage: Wie viele Paare erzeugt der Algorithmus?

Satz 2: Gegeben eine Punktmenge P im \mathbb{R}^d und $s \geq 1$ lässt sich eine s -WSPD mit $O(s^d n)$ Paaren in Zeit $O(n \log n + s^d n)$ konstruieren.

Analyse WSPD-Konstruktion

Satz 2: Gegeben eine Punktmenge P im \mathbb{R}^d und $s \geq 1$ lässt sich eine s -WSPD mit $O(s^d n)$ Paaren in Zeit $O(n \log n + s^d n)$ konstruieren.

Beweisskizze:



t -Spanner

Für eine Menge P von n Punkten in \mathbb{R}^d ist der **Euklidische Graph** $\mathcal{EG}(P)$ der vollständige gewichtete Graph, dessen Knotenmenge P ist und dessen Kantengewichte dem Euklidischen Abstand der Kantenendpunkte entsprechen.

Für eine Menge P von n Punkten in \mathbb{R}^d ist der **Euklidische Graph** $\mathcal{EG}(P)$ der vollständige gewichtete Graph, dessen Knotenmenge P ist und dessen Kantengewichte dem Euklidischen Abstand der Kantenendpunkte entsprechen.

Da $\mathcal{EG}(P)$ $\Theta(n^2)$ Kanten hat, wird oft ein dünner Graph mit $O(n)$ Kanten gesucht, dessen kürzeste Wege die Kantengewichte in $\mathcal{EG}(P)$ approximieren.

Für eine Menge P von n Punkten in \mathbb{R}^d ist der **Euklidische Graph** $\mathcal{EG}(P)$ der vollständige gewichtete Graph, dessen Knotenmenge P ist und dessen Kantengewichte dem Euklidischen Abstand der Kantenendpunkte entsprechen.

Da $\mathcal{EG}(P)$ $\Theta(n^2)$ Kanten hat, wird oft ein dünner Graph mit $O(n)$ Kanten gesucht, dessen kürzeste Wege die Kantengewichte in $\mathcal{EG}(P)$ approximieren.

Def.: Ein gewichteter Graph G mit Knotenmenge P heißt **t -Spanner** für P und einen Dehnungsfaktor $t \geq 1$, falls für alle Paare $x, y \in P$ gilt

$$\|xy\| \leq \delta_G(x, y) \leq t \cdot \|xy\|,$$

wobei $\delta_G(x, y)$ die Länge eines kürzesten x - y -Weges in G ist.

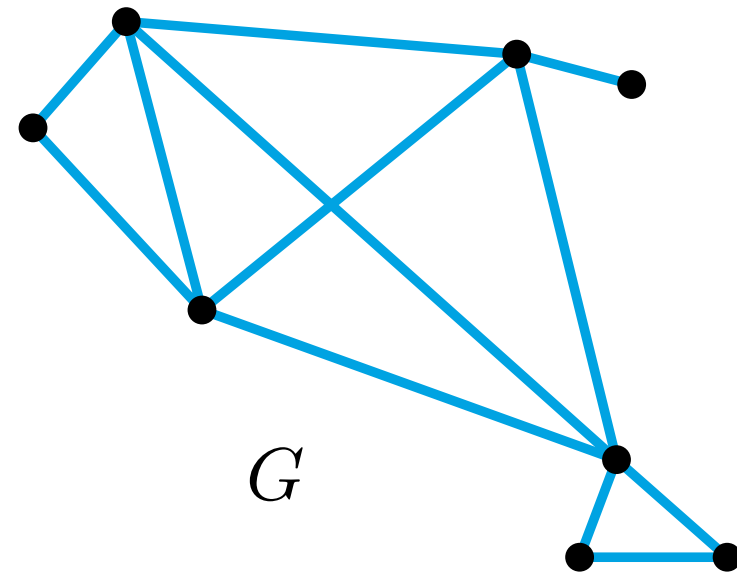
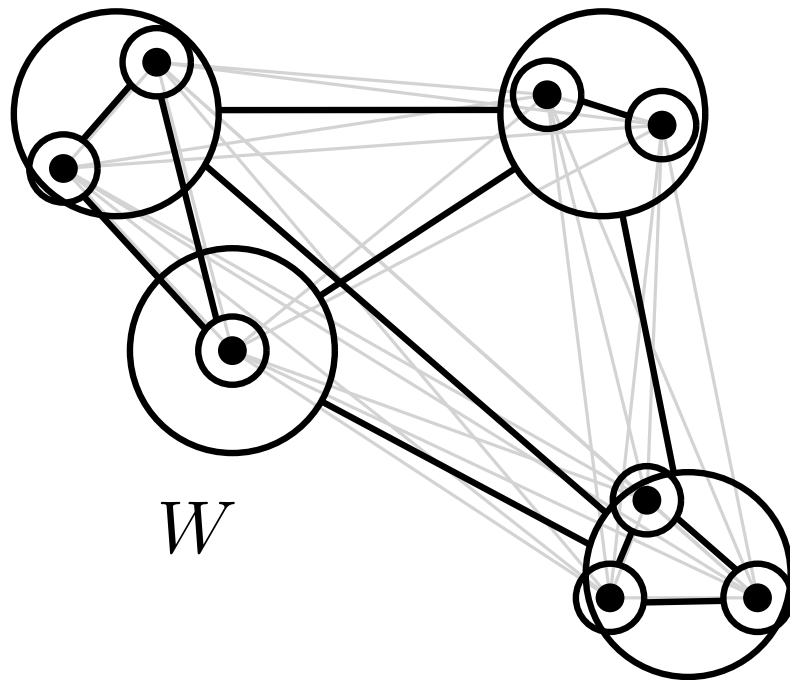
WSPD und t -Spanner

Def.: Für eine Menge P von n Punkten in \mathbb{R}^d und eine WSPD W von P definiere einen Graphen $G = (P, E)$ mit

$$E = \{\{x, y\} \mid \{u, v\} \in W \text{ und } \text{rep}(u) = x, \text{rep}(v) = y\}.$$

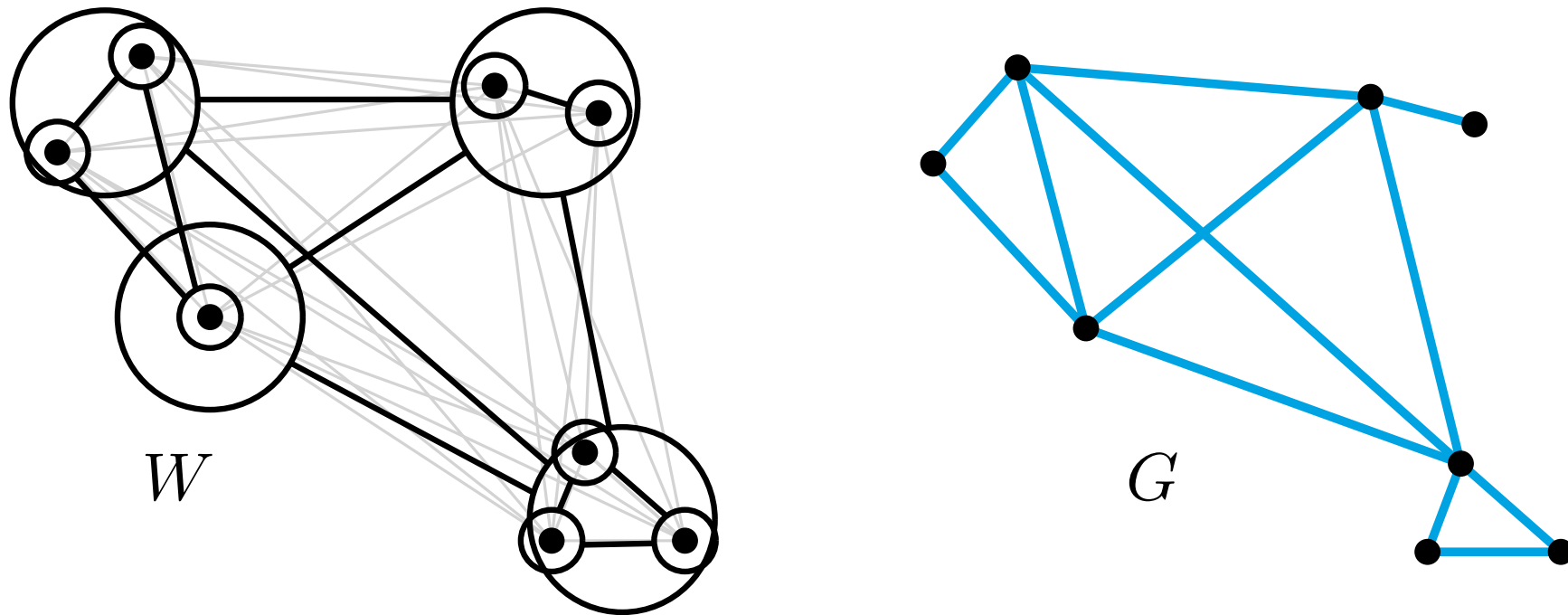
WSPD und t -Spanner

Def.: Für eine Menge P von n Punkten in \mathbb{R}^d und eine WSPD W von P definiere einen Graphen $G = (P, E)$ mit $E = \{\{x, y\} \mid \{u, v\} \in W \text{ und } \text{rep}(u) = x, \text{rep}(v) = y\}$.



WSPD und t -Spanner

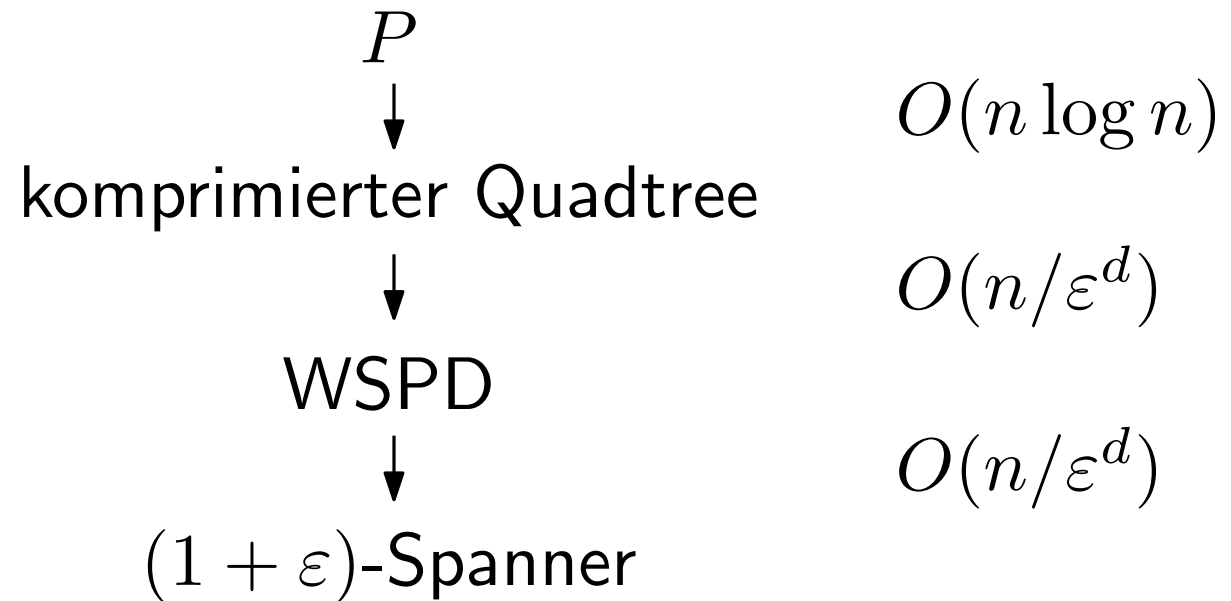
Def.: Für eine Menge P von n Punkten in \mathbb{R}^d und eine WSPD W von P definiere einen Graphen $G = (P, E)$ mit $E = \{\{x, y\} \mid \{u, v\} \in W \text{ und } \text{rep}(u) = x, \text{rep}(v) = y\}$.



Beh.: Ist W eine s -WSPD für ein geeignetes $s = s(t)$ so ist G ein t -Spanner für P mit $O(s^d n)$ Kanten.

Satz 3: Für eine Menge P von n Punkten in \mathbb{R}^d und ein $\varepsilon \in (0, 1]$ kann ein $(1 + \varepsilon)$ -Spanner für P mit $O(n/\varepsilon^d)$ Kanten in $O(n \log n + n/\varepsilon^d)$ Zeit berechnet werden.

Satz 3: Für eine Menge P von n Punkten in \mathbb{R}^d und ein $\varepsilon \in (0, 1]$ kann ein $(1 + \varepsilon)$ -Spanner für P mit $O(n/\varepsilon^d)$ Kanten in $O(n \log n + n/\varepsilon^d)$ Zeit berechnet werden.



Welche weiteren Anwendungen hat die WSPD?

Welche weiteren Anwendungen hat die WSPD?

WSPD bietet sich immer dann an, wenn man auf die $\Theta(n^2)$ exakten Distanzen in einer Punktmenge verzichten kann und diese stattdessen approximiert:

- Berechnung der paarweisen Abstoßungskräfte von n Objekten, z.B. für kräftebasierte Algorithmen im Graphenzeichnen
- Berechnung von approx. Durchmesser und nächstem Paar (exakt!) einer Punktmenge
- schnelle Berechnung von EMST

Welche weiteren Anwendungen hat die WSPD?

WSPD bietet sich immer dann an, wenn man auf die $\Theta(n^2)$ exakten Distanzen in einer Punktmenge verzichten kann und diese stattdessen approximiert:

- Berechnung der paarweisen Abstoßungskräfte von n Objekten, z.B. für kräftebasierte Algorithmen im Graphenzeichnen
- Berechnung von approx. Durchmesser und nächstem Paar (exakt!) einer Punktmenge
- schnelle Berechnung von EMST

Wozu geometrisch approximieren?

Welche weiteren Anwendungen hat die WSPD?

WSPD bietet sich immer dann an, wenn man auf die $\Theta(n^2)$ exakten Distanzen in einer Punktmenge verzichten kann und diese stattdessen approximiert:

- Berechnung der paarweisen Abstoßungskräfte von n Objekten, z.B. für kräftebasierte Algorithmen im Graphenzeichnen
- Berechnung von approx. Durchmesser und nächstem Paar (exakt!) einer Punktmenge
- schnelle Berechnung von EMST

Wozu geometrisch approximieren?

Einerseits ersetzt man dadurch langsame Berechnungen durch schnellere (aber ungenauere), andererseits sind oft auch die Eingabedaten schon mit einer gewissen Ungenauigkeit behaftet, so dass approximative Lösungen je nach Anwendung ausreichend sind.